



Статья

# Исследование реакции на ветер и отклонения ветра Контроль пролета конструкции верхней уплотнительной сетки Линии электропередачи

Мэн Чжан, Гуанцин Фэн, Сюй Чжан и Гуйфэн Чжао \*



Школа гражданского строительства, Университет Чжэнчжоу, Чжэнчжоу 450001, Китай; zhangmeng@zzu.edu.cn (M3) \* Переписка: gfzhao@zzu.edu.cn

Аннотация: Конструкции герметизирующей сетки часто используются в качестве защитных устройств на вновь строящихся линиях электропередачи, пересекающих существующие линии. Они направлены на обеспечение безопасности при строительстве и эксплуатации пересекающихся линий. Для изучения характеристик реагирования конструкций герметизирующей сетки на прогиб ветровой нагрузки при ветровых нагрузках была создана модель конструкции герметизирующей сетки с использованием программного обеспечения ANSYS/APDL для анализа методом конечных элементов. Эта модель представляет собой конструкцию верхней уплотняющей сетки, охватывающую существующую линию. Результаты, полученные в результате моделирования методом конечных элементов, хорошо согласуются с теоретическими расчетами, что указывает на достоверность установленной модели конечных элементов для точного анализа реакции конструкции герметизирующей сетки на воздействие ветра. Развивая эту основу, в исследовании было проанализировано влияние различных факторов на отклонение герметизирующей сетки ветром. Эти факторы включают пролет, скорость ветра, предварительное натяжение контактной сети, угол направления ветра, угол расположения и метод дополнительных вант. В ходе исследования было изучено влияние этих факторов на ветровое отклонение конструкции герметизирующей сетки. Кроме того, было представлено предложение по устройству закрывающей конструкции для уменьшения отклонения от ветра. Это предложение представляет собой ценное руководство по проектированию и соображениям без сетчатые структуры.



Цитирование: Чжан М.; Фэн, Г.; Чжан, Х.; Чжао, Г. Исследование реакции на ветер и управления ветровым отклонением конструкции воздушной изоляционной сетки, охватывающей линии электропередачи. Здания 2023, 13, 2947. https://doi.org/10.3390/building13122947.

Академический редактор: Шаохун Чэн

Поступила: 27 сентября 2023 г. Пересмотрено: 22 ноября 2023 г.

Принято: 24 ноября 2023 г. Опубликовано: 26 ноября 2023 г.



Копирайт: © 2023 авторов.

Лицензиат MDPI, Базель, Швейцария.

Эта статья находится в открытом доступе. распространяется на условиях и условия Creative Commons

Лицензия с указанием авторства (СС ВУ) ( https://creativecommons.org/licenses/by/4.0/).

Ключевые слова: структура уплотняющей сетки; реакция, вызванная ветром; контроль ветрового отклонения; дополнительные вантовые тросы

### 1. Введение

В условиях растущего глобального спроса на электроэнергию растет потребность в разработке проектов по передаче электроэнергии на большие расстояния и высокой мощности, охватывающих регионы. Кроме того, наблюдается растущая тенденция к строительству новых линий электропередачи, которые пересекают существующие линии электропередачи, железные дороги, автомагистрали, судоходные водные пути, возвышенности, долины, сельскохозяйственные угодья и девственные леса, а также другие специализированные области [1]. Прокладка новых линий электропередачи часто приводит к необходимости бесперебойной работы существующих линий, с которыми они пересекаются. Чтобы оптимизировать использование проходимой территории и обеспечить ее защиту, в качестве меры безопасности при прокладке этих линий электропередачи обычно используется конструкция воздушной уплотняющей сетки [2,3], как показано на рисунке 1.

Конструкция герметизирующей сетки, установленная на воздушной линии электропередачи, пересекает железные дороги, автомагистрали, судоходные водные пути и другие существующие линии, как показано на рисунке 2. Ее основная функция — перехват падающей ломаной линии и предотвращение ударов при обрыве линии . Для существующих цепей обеспечьте безопасное расстояние между ними, чтобы обеспечить безопасность существующих цепей [4]. Для проведения комплексного исследования безопасности конструкции герметизирующей сетки для линий электропередачи необходимо убедиться, что герметизирующая конструкция не только соответствует требованиям прочности для перехвата ломаных линий, но и эффективно перехватывает падающие линии электропередачи в определенном диапазоне.

эффективно перехватывает падающие линии электропередачи в определенном диапазоне, эффективно

2 из 33

перехватывает падающие линии электропередачи в определенном диапазоне





РисунфигуПокти. Чириа дына в выма комытария термочизыр ў ведым сетки.

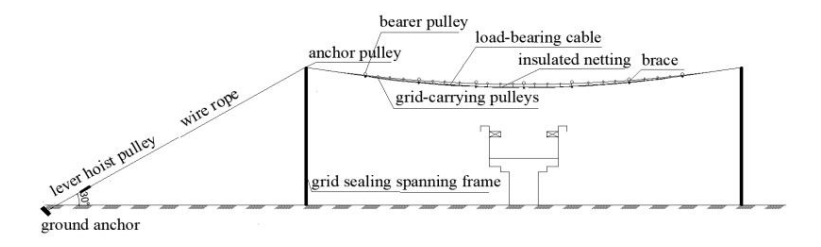


Рисунок 2. Устройство конструкции уплотнительной сетки.

Рисунок 2. Уर्राकृм्त्विक्रास्त्र កូуром нуюсти жонструкции герметизирующей сетки, ученые в стране и за Рисунок 2. Устроиство конструкции уплотнительной сетки. исследований с разных точек зрения, таких как динамические характеристики разъединения и буферные жарактеристики конструкцию герметизирующе

Paah industrandristande pahanin Getrorustuk portugak kakupasessanin subarustuk subarustu CWEPEN HISTOROGIA NETTEN PSELETO E TISKS INDICATE TO THE MET THE AND RICHANDO PRIBERRA BARY HYPARTPYSIS GALYSSERATUS PRIFER BARY STARK STARK STARK PRIFE PRIFER FOR THE BARY STARK BARGAN динамические механические свойства, а также анализ методом конечных элементов деформации камней. Сасихаран и дробы провединим принамические механические свойства, а также анализ методом конечных элементов деформации глокой защитной сетчатой структуры. Что фактирования объет и акадия чиленного моделирования тирохов задитной сети предоставили всеобвемлющую и центую базу данных дия томее сей защиты, решающую роль в определении устой-ивести всеи конструкции. Мэн и др. 77 использовали сетевую структуру, которая помогла KOKPHONIEN PROBATION PROBABILITY OF THE PROBABILITY OF THE PROBATION OF THE PROBABILITY O CENTRATILITION BORDON WHA FIREYEYRY FERMETHAN BY BY LETTER FOR THE OFFICE REAL PROPERTY OF THE FIREY FOR THE FIREY FOR THE FOR NOT SKERERE REPORTED SKRIPT SKREAMERS KERFER SKREARE FRANKE FRANK MODERAGE KN OTBEJAET HEOGYGANMAIM TREGOBAHNAM. TAKAM OGDABOM OG HUDHALE UCCREADBAHNA UMEOT CTDYKTYDY BARLAGE BARLAGA GETKN. OH U MODERAGE BARLAGA MARTIA HARLAGA MARTIA TREGOBAHNAM. TAKAM OGDABOM OG HARLAGA BARLAGA BARLAGA MARTIA HARLAGA BARLAGA материалов в процессе столкновения. Исследование было сосредоточено на оценке структуры герметизирующей сетки. Они проанализировали результаты расчетов подтвердим, что структуры уплотненим це сетки встречается с сетком в процессе столкновения. Исследование было определяют прочность герметизирующих сетчатых конструкций при различных составах материалов и необходимых требованиях. Поэтому были различены водимощими услугованиях поэтому были различеные водимощими услугованиях поэтому были правличеные подставления поределяющими прочность гермения подставления подставления подставления подставления подставления подставления подставления подставления по пределяющими прочность гермения подставления по пределяющими прочность гермения прочность гермения по пределяющими прочность гермения прочность гермения прочность гермения пределяющими предел герметизирующей сетки при различных составах материалов и обеспечить основу для проектирования и оптимизации конструкции. Результат ф.адуумак. Изделение дозвистих изыбрязь перхиенных бурга в примень пред применение други и поставующей применение применение и применение други и поставующей применение примен одного правиться в под правиться и правиться wexamuran karangaran karangaran karangaran karangaran darangaran karangaran karangaran karangaran darangaran d Ahebborrerer karangaran karangaran karangaran karangaran karangaran karangaran karangarangaran karangaran daran важным постоянное подтверждение того, что прочность конструкции герметизирующей сетки соответствует требованиям, обеспечивающим и АБКЛВУ ДВКСТИВУСТВЕНИЯ ОБТЕРИТЕЛЬНЫЙ В ОБТЕРИТЕЛЬНЫЙ В СООТВЕТСТВИЕ ОБТЕРИТЕЛЬНЫЙ В ОБТЕРИТЕЛЬНЫЙ В СООТВЕТСТВИЕ ТРЕЗЕВ В СООТВЕТСТВИЕ ТОВСТВЕТСТВИЕ ТОВСТВИЕ ТОВСТВЕТСТВИЕ ТОВ

Это вызывает колебания, которые препятствуют его способности эффективно перехватывать ломаные линии или даже допускать проникновение других линий, что приводит к потенциальным авариям. Следовательно, структура уплотняющей сетки демонстрирует очевидные нелинейные характеристики при ветровых нагрузках [10]. На основе

Учитывая эту характеристику, исследователи провели исследования по конструкциям герметизирующей сетки, а также конструкциям, похожим на конструкции герметизирующей сетки, включая кабельные сети, гуманоидные подвесные мосты и конструкции защитной сетки.

3 из 33

Ваеззаде и др. [11] нашли сопротивление обрушению конструкций кабельной сети, рассмотрев 24 прототипа и 168 сценариев обрушения. Сильно нелинейное поведение кабелей создает проблемы, приводящие к большим смещениям и нестабильности. Разрушение ограничителей было определено как наиболее разрушительный сценарий обрушения, особенно затрагивающий угловые колонны в многопролетных кабельных сетях. Для анализа использовалась пошаговая нелинейная псевдодинамическая процедура с точным моделированием разрушения. Ву и др. [12] сосредоточились на активном контроле вибрации конструкций кабельных сетей с помощью многоярусных пьезоэлектрических актуаторов. Был предложен нелинейный метод решения проблем вибрации при наличии неопределенностей. Неопределенная модель была получена из номинальной модели, и было выведено нелинейное управление с обратно Нелинейный подход продемонстрировал осуществимость, надежность и улучшенную производительность по сравнению с линейным управлением. Сальватори и др. [13] проанализировали воздействие ветра на подвесные мосты путем численного моделирования с учетом структурных нелинейностей. Были включены эффекты самовозбуждения и бафтинг. Реакция на турбулентный ветер оценивалась с использованием метода Монте-Карло. Структурная модель с двумя сечениями отражает ключевые характеристикі Структурные нелинейности ограничивают амплитуду колебаний, и полностью коррелированный поток мог недооценивать реакцию. Эскаллон и др. [14] разработали модель конечных элементов для точного моделирования механического поведения проволочных сетей в барьерах для защиты от камнепадов. Модель успешно воспроизвела нелинейную реакцию смещения силы, наблюдавшуюся в ходе лабораторных испытаний и полномасштабных барьерных испытаний. Халхалиха и др. В работе [15] основное внимание было уделено структурной динамике седловидной конструкции вантовой сети с предварительно напряженными вант Параметрический нелинейный динамический анализ был проведен для оценки реакции системы на различные массы, геометрии, напряжения и амплитуды возбуждения. Эквивалентная модель с одной степенью свободы точно оценила реакцию смещения, а нелинейный алгоритм активного управления эффективно снизил реакцию конструкции на переходное ветровое возбуждение. Лиойд и др. [16] описали эффективность серии страховочных сетей различной конфигурации, испытанных при низкоскоростных ударах. Также представлена общая производительность различных конфигураций сетей. Приводятся выводы и рекомендации, касающиеся конфигурации сети и деталей подключения. Бертоло и др. [17] предложили процедуру испытаний для оценки общей эффективности защитной сети. Они обнаружили , что результаты испытаний защитной сетки эффективно отражают кривую нагрузка-перемещение во время испытаний, обеспечивая точное представление ее поведения. Эскаллон и др. [18] разработали модель конечных элементов для анализа защитных сетей. Эта модель учитывает пластичность и поведение материала при повреждении и точно отражает нелинейные кривые нагрузки и смещения, наблюдаемые в экспериментальных испытаниях. Ван и др. [19] провели испытание в аэродинамической трубе с использованием уменьшенной модели для анализа методов смягчения вызванных ветром отклонений в конструкциях герметизирующей сетки. Они специально исследовали влияние использования тросов в форме восьмерки под разными углами и положениями для контроля отклонения герметизирующей сетки ветром. В области проектирования конструкций как внутри страны, так и за рубежом проводятся исследования для всестороннего учета различных факторов при анализе конструкций. К этим факторам относятся свойства материала, геометрические формы, граничные условия, а также сила и направление ветровых нагрузок. Чтобы глубже понять подобные структуры, исследователи использовали подходящие методы численного моделирования и подходы к экспериментальному тестированию. Эти исследования были сосредоточены на изучении нелинейных реакций, проявляемых такими структурами, включая нелинейное поведение материалов, эффекты геометрической нелинейности и контактной нелинейности.

Согласно предыдущим исследованиям, как отечественные, так и международные ученые тщательно изучили материалы, механические характеристики и прочность конструкций герметизирующей сетки. В результате конструкции из герметизирующей сетки нашли широкое применение в инженерных проектах, что подчеркивает важность обеспечения их безопасности и надежности. Однако в текущих исследованиях отсутствуют всесторонние исследования и достаточное рассмотрение реакции вибрации, вызванной ветром, и контроля смещения конструкций герметизирующей сетки под ветром.

Условия загрузки. Этот разрыв существует, прежде всего, из-за сложного и взаимосвязанного характера проблемы. Влияние ветровой нагрузки на конструкции герметизирующей сетки включает в себя различные факторы, включая динамическую реакцию конструкции, характеристики ветровой нагрузки и геометрическую форму, все из которых необходимо рассматривать целостно. Кроме того, герметичные сетчатые конструкции подвержены значительным деформациям и смещениям во время сильного ветра, что может привести к серьезным последствиям, таким как структурное повреждение или функциональные ограничения. Поэтому изучение управления ветровым перемещением также имеет большое значение. Для повышения показателей безопасности конструкций герметизирующей сетки крайне важно провести углубленное исследование и анализ реакции вибрации, вызванной ветром, и смещения, вызванного ветром.

4 из 33

В этом исследовании всесторонне анализируется реакция конструкций запечатывающих сетей на ветер, чтобы моделировать их поведение под действием ветра. При анализе учитываются такие факторы, как расстояние сваливания, скорость ветра, сила предварительного натяжения несущих тросов и угол ветра. Дополнительно исследовано влияние углов расположения и способов дополнительного натяжения тросов на ветровой прогиб конструкций герметизирующей сетки. На основе этих выводов даются рекомендации по устройству конструкций герметизирующей сетки для эффективного предотвращения и контроля прогибов, вызванных ветром. Это исследование дополняет текущий прогресс в области анализа вибрации ветра и контроля смещения ветром, а также создает теоретическую основу для дальнейшего повышения показателей безопасности конструкций герметизирующей сетки.

#### 2. Моделирование ветровых нагрузок на конструкции герметизирующей сетки.

На конструкции из герметизирующей сетки значительное влияние оказывают ветровые нагрузки в силу присущих им характеристик. Поэтому крайне важно изучить механизмы реагирования конструкций герметизирующей сетки на воздействие ветровой нагрузки. Это предполагает получение конкретной информации о поле ветра и ветровых нагрузках, действующих на уплотняющую сетку. В этой главе мы в первую очередь сосредоточимся на представлении теоретических знаний о ветре и моделировании ветрового поля там, где расположены конструкции изолирующей сети. Фундаментальные теоретические знания о ветре включают различные аспекты, такие как средние характеристики ветра и характеристики турбулентного ветра. В данной работе рассматривались характеристики пульсирующего ветра и применялся метод гармонической суперпозиции [20]. Кроме того, спектр Давенпорта [21] использовался в качестве целевого спектра для моделирования поля ветра при различных скоростях ветра. Точность результатов моделирования была подтверждена, и впоследствии скорость ветра была преобразована во временную диаграмму ветровой нагрузки. Этот преобразованный профиль ветровой нагрузки послужил входной нагрузкой для конструкции, заложив тем самым основу для изучения временного анализа вибрационной реакции кабеля, вызванной ветром. сетчатая структура.

### 2.1. Характеристики ветра

Ветер относится к движению воздуха относительно поверхности Земли, в результате чего поток воздуха движется с определенной скоростью. Анализ наблюдаемых данных о ветре показывает, что изменение скорости ветра во времени состоит из двух основных компонентов. Первый компонент — это средняя скорость ветра, обозначаемая как U, которая, несмотря на свою динамическую природу, демонстрирует поведение, подобное статической силе. Вторая составляющая – это пульсирующая скорость ветра µ, характеризующаяся колебаниями, оказывающими динамическое воздействие на конструкции. Влияние этих двух компонентов скорости ветра на конструкции можно исследовать независимо. Это можно выполнить, рассматривая вклад как среднего ветра, анализируемого с точки зрения статических сил, так и пульсирующего ветра, исследуемого с точки зрения динамических сил.

### 2.2. Средние характеристики ветра

В течение определенного интервала времени сила, действующая средним ветром на различные типы сооружений, остается постоянной по величине и направлению. На величину средней скорости ветра влияет высота моделируемого места. В рамках

пограничный слой атмосферы характеризуется изменением средней скорости ветра с высотой по среднему профилю ветра. Степенное уравнение профиля ветра имеет следующий вид:

$$\frac{\overline{\mathsf{Tb}}}{==} \overset{\mathsf{R}}{=} \overset{\mathsf{Q}}{=} \overset{\mathsf{Q}}{=} \overset{\mathsf{M}}{=} \overset{\mathsf{$$

5 из 33

В этом выражении U представляет собой среднюю скорость ветра на любой заданной высоте, z представляет высоту в любой заданной точке, Us представляет среднюю скорость ветра в эталонной точке. высота, Zs представляет собой эталонную высоту, а α представляет коэффициенты шероховатости.

Нормативы по нагрузкам на здания требуют использования экспоненциального профиля ветра. Уравнение (1) для определения ветровых нагрузок на конструкции. Это уравнение подразделяется на четыре группы в зависимости от при различных условиях шероховатости грунта с соответствующими коэффициентами шероховатости α предназначены для различных типов местности. Эти коэффициенты подробно описаны в таблице 1.

Таблица 1. Коэффициент шероховатости и высота градиента ветра при различных формах рельефа.

Категория	Геоморфологическое описание	зГ (м)	α
A	Моря, острова, побережья, берега озер и засушливые регионы.	300	0,12
Б	Поля, сельская местность, джунгли, а также малонаселенные малые и средние города. и городские пригороды.	350	0,16
С	Городские районы с плотной застройкой.	400	0,22
Д	Городские районы крупных городов с плотной застройкой и большим количеством высотных зданий.	450	0,30

#### 2.3. Характеристики пульсирующего ветра

Пульсирующий ветер демонстрирует стохастические колебания как во времени, так и в пространстве; однако его фундаментальные свойства все еще можно уловить с помощью вероятностных подходов.

Статистический анализ выборок временных рядов скорости ветра, полученных в результате эмпирических измерений, показывает, что турбулентный ветер демонстрирует заметную нестационарность, что не является в зависимости от среднего ветра. Эту нестационарность можно адекватно представить с помощью Гауссовский стационарный случайный процесс со средним значением, равным нулю.

Динамическая реакция конструкций на вибрации, вызванные ветром, в первую очередь зависит от турбулентное движение переменного ветра. Турбулентность возникает в результате взаимодействия среди мелких вихрей, образующихся из-за препятствий на пути ветрового потока. Характеристика Турбулентность включает в себя четыре основных элемента: интенсивность турбулентности, интегральный масштаб турбулентности, спектры турбулентной пульсирующей скорости ветра и перекрестная спектральная плотность.

Интенсивность пульсации является широко используемым показателем для характеристики атмосферы. турбулентность. В частности, он количественно определяет уровень турбулентности в продольном направлении на заданная высота z, a I(z) определяется как:

$$I(z) = \sigma v f(z)/U(z)$$
 (2)

В уравнении I(z) обозначает интенсивность турбулентности на высоте z, оv f(z) представляет собой интенсивность турбулентности на высоте z. Среднеквадратичное значение продольной скорости ветра, а U(z) соответствует к средней скорости ветра на высоте z. В связи с постепенным уменьшением корневой средней квадратичное значение колеблющейся скорости ветра ov f(z) и сопутствующее увеличение Средняя скорость ветра U(z) с увеличением высоты интенсивность турбулентности I(z) демонстрирует тенденция к уменьшению по мере увеличения высоты.

Спектр пульсирующей энергии ветра

В практических приложениях пульсирующий ветер часто встречается как пульсирующий ветер с трех измерениях: по направлению ветра, перпендикулярно направлению ветра и вертикальная турбулентность имеет незначительное численное значение и может быть не учитывается с точки зрения влияния на структуру. Турбулентность бокового ветра также относительно небольшой, а механизм его действия сложен. Поэтому данная глава исключительно

основное внимание уделяется влиянию турбулентности ниже по потоку на конструкцию. Спектр мощности пульсирующего ветра описывает распределение пульсирующей энергии ветра в частотной области. Он отражает вклад различных частотных составляющих пульсирующего ветра в общую кинетическую энергию турбулентной пульсации. На основе больших пролетов и плавных характеристик конструкции кабельной сети, а также минимального изменения высоты плоскости замыкания сети используется спектр скорости ветра Давенпорта, который остается постоянным по высоте. Выражение для спектра скорости ветра в Давенпорте выглядит следующим образ

CB(H) = 
$$4\kappa \bar{B} 10^2 \frac{2\kappa}{\Pi(1 + \chi 2)^{4/3}}$$
 (3)

6 из 33

где x = 1200n/v10, Sv(n) — спектральная плотность мощности, k — коэффициент сопротивления грунта, n — частота колебаний ветра, a v10 — средняя скорость ветра, преобразованная в стандартную высоту.

Пульсирующие ветры проявляют как автокорреляционные свойства, так и пространственные корреляции [22].

Пространственную корреляцию пульсирующих ветров можно описать с помощью функции когерентности, которую математически можно представить функцией экспоненциального затухания. Выражени для функции когерентности выглядит следующим образом:

$$Coh(\omega) = exp \quad C \frac{\omega r}{2\pi v(\overline{z})}$$
 (4)

где С — коэффициент затухания,  $\omega$  — круговая частота, r — расстояние между двумя точками в пространстве, а v(z) — средняя скорость ветра на высоте  $\overline{z}$ .

На экспоненциальную функцию когерентности влияют расстояние, частота и средняя скорость ветра. Можно сделать вывод, что по мере уменьшения расстояния между двумя точками частота уменьшается, средняя скорость ветра увеличивается и пространственная корреляция становится сильнее.

Coh(
$$\omega$$
) = exp  $\frac{2 n cx 2(xi xj)}{-} + cy 2(yi yj) + cz 2(zi zj)$  (5)

где сх, су и сz — коэффициенты пространственного затухания в направлениях x, y и z соответственно. Основываясь на опыте, коэффициенты пространственного затухания в трех направлениях установлены равными 16, 8 и 10. v(zi) и v(zj) — это средние скорости ветра на каждой высоте для точек i и j соответственно.

### 2.4. Моделирование истории скорости и времени ветра

В этом исследовании анализ реакции на ветровую вибрацию конструкции герметизирующей сетки проводится с использованием метода временной области. Перед анализом необходимо смоделировать временную историю скорости ветра для конструкции. В моделировании используется несколько ключевых параметров, которые представлены в Таблице 2.

В случае структуры пролетной сетки 200 м временные графики скорости ветра в 61 точке были смоделированы с использованием программного обеспечения МАТLAB. При моделировании скорости ветра в этом исследовании рассматривался широкий диапазон скоростей ветра. Однако для целей данного исследования мы представляем результаты для базовой скорости ветра 10 м/с. Положения 61 точки моделирования показаны на рисунке 3. Кривая временной динамики пульсирующей скорости ветра в узле, где уплотняющая сеть пересекает середину, а собственная мощность показана на рисунке 4.

Метод моделирования

Метод гармонической суперпозиции

Модель средней скорости

ветра Базовое давление ветра (кН/м²) Категория неровности грунта Коэффициент

Экспоненциальный закон 0.35

Здания 2023, 13, 2947 г.

неровности грунта Целевой спектр

Класс Б

мощности Количество точек

0,16

Спектр Давенпорта

7 из 33

моделирования Таблица 2. Основные

61

параметры моделирования ветрового поля. Общее время/временной интервал истории скорости ветра (с)

300/0,01

Количе (тарометрен изодеогрупования оты. Начальная

ценить 2048

частота/частотамерея фывания

0.001/10 Метод гармонической суперпозиции

Модель средней скорости ветра

В случа в авременты в случа в случ

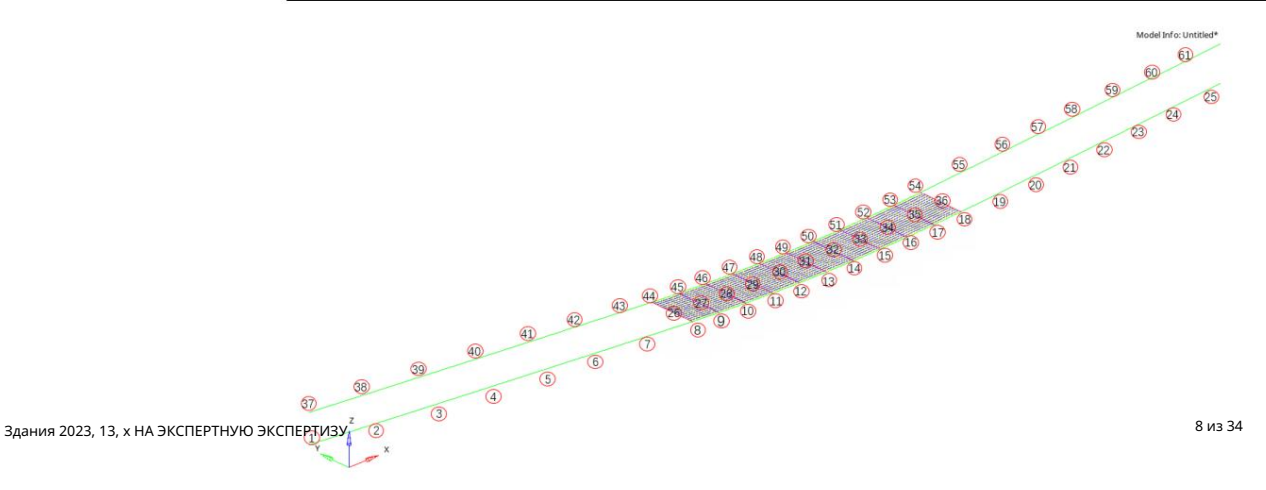
точки моделировалисьне редпользовый ием программного обеспечения МАТLAB. Куактывая симуляцию ветра В данном иссле 🖁 ৪ টুর্মান প্রমাণ কর্মের বিষয়ের বিষয়ের মুর্মান মুর্মান বিষয়ের মুর্মান মুর

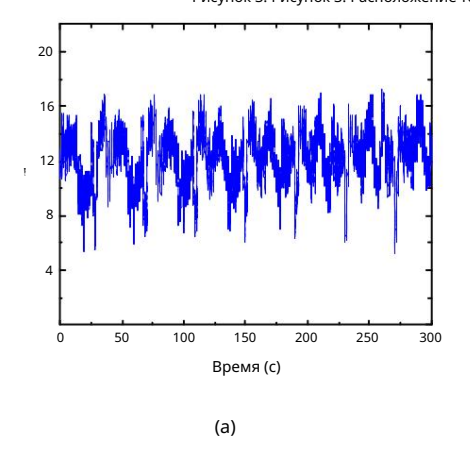
Целевой спектр мощности Спектр Давенпорта В рамках данного исследования мы представляем результаты для базовой скорости ветра 10 м/с. Пози-Количество точек моделирования 61

Параметры 61 точки моделирования показаны на рис. 3. Кривая пульсирующего общее время/временной интервал истории скорости ветра (с) 300/0,01

временн**ка диасрамую বে**শ্বে**মের চি চুর্মানে ৪ সিন্দর,** где уплотняющая сетка охватывает**20**ередину и

собственна ой манцы ости/пажавание за агриссуинке о4.





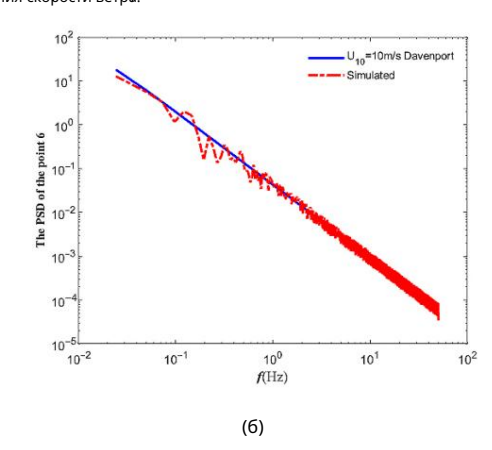


Рисунок 4. Моделирование стохастического поля ветра в точке 13. (а) Моделирование кривой изменения скорости ветра во времени. Рисунок 4. Стохастическое моделирование поля ветра в точке 13. в точке 13 при базовой скорости ветра 10 м/с. (b) Сравнение спектра мощности скорости ветра и

целевой спектр в точке моделирования 13. Согласно рисунку 4, стохастическое распределение моделируемой скорости ветра по

демонстрирует более близкое соответствие спектру Давенпорта. Эти данные указывают стохастическое распределение. Кроме того, смоделированный спектр мощности скорости ветра показывает, что моделирование динамики скорости в демонстрирует более близкое соответствие спектру Давенпорта. Эти данные указывают на то, что су, что делает его пригодным для динамического структурного анализа. Моделирование временной истории скорости ветра в этом исследовании демонстрирует высокий уровень точности, отображая он абджарие две дронахическую киструктурного анализа.

2.5. Расчет ветровой нагрузки расчеты ответов. Ее необходимо преобразовать в ветровую нагрузку, прежде чем прикладывать ее к сосбаво встыветностирувые организацию то все розвуны в веропарами па проделения в прими при примина при примина при примина пр растоетынотрегковнастинопрестрановать ее к приложенную к линии на уплотнительной сетке, можно определить следующим образом:

 $\Phi_{T()} = \frac{1}{2} (Y y - (3t(B)^2C z (, ))$ 

состав. В частности, пульсирующую ветровую нагрузку следует прикладывать к назначенной нагрузке. точка на конструкции уплотнительной сетки для точных расчетов. Ветровая нагрузка, приложенная к линию на уплотняющей сетке можно определить следующим образом:

$$F(T) = \frac{1}{2}\rho(U(z) + \mu(z, t))2 B(z)C(z)$$
 (6)

8 из 33

где ρ – плотность воздуха; U(z) и μ(z, t) — средние и пульсирующие скорости ветра. на высоте z соответственно; B(z) — проектируемая ширина конструкции при вертикальном ветре. направление; C (z) – коэффициент формы ветровой нагрузки конструкции по стандарту. дл/т 5486-2020 «Технические условия на проектирование стальных несущих конструкций воздушная линия электропередачи» [23]. Когда направление ветра совпадает с направлением над головой линия электропередачи под определенным углом, ветровые нагрузки на вертикальную и нисходящие составляющие определяются исходя из значений, указанных в таблице 3. Стоит отмечая, что уровни ветровой нагрузки, испытываемые конструкцией герметизирующей сетки и проводником сопоставимы. Таким образом, для компонента герметизирующей сетки разные углы ветра в вертикальное и нисходящее направления также выбираются в соответствии с предоставленными значениями в таблице 3.

Таблица 3. Ветровые нагрузки на линии замыкания при угловом ветре.

Угол направления ветра θ (градусы)	Х-направление	Направление Ү
0	0 Ф(т)	0,25 Ф(т)
30	0,25 Ф(т)	0,19 Φ(τ)
45	0,50 Ф(т)	0,13 Φ(τ)
60	0,75 Ф(т)	0,06 Φ(τ)
90	Ф(т)	0

# 3. Построение численной модели и анализ ветровой реакции Структура сетки закрытия

### 3.1. Модель конечных элементов

Данное исследование посвящено изучению конструкции верхнего уплотнения, связанной с с недавно построенной линией электропередачи 500 кВ. Конструкция герметизирующей сетки включает в себя несущие тросы, изолирующая канатная сеть, изолирующие стойки, пролетная рама, направляющие тросы, рычажные блоки, опорные блоки и наземные анкеры. Несущие тросы внутри уплотнительная сетка устанавливается на пролетную раму через опорные шкивы и крепится к заземление с помощью стальных тросов. Пролетная рама в первую очередь служит для фиксации и поддержку, оказывающую минимальное влияние на ветровое отклонение конструкции герметизирующей сетки. Следовательно, влияние пролетной рамы на ветровые прогибы уплотнителя пет не рассматривалась в данном исследовании. Кроме того, для удобства моделирования в этом исследовании не учитываются эффекты натяжения тросов, ручных подъемников, направляющих линий и грунтовые якоря на замыкании сети. Когда новая линия электропередачи пересечется с существующей линии во время строительства, промежуточная уплотнительная сетка не реализована с охватывающая рама. Вместо этого используется локальная схема запечатывающей сетки, и запечатывающая сетка занимает форма комбинации сетки и шестов. Несущие тросы подвешиваются на равные высоты.

### 3.1.1. Параметры модели конечных элементов

Параметры, связанные со структурой герметизирующей сетки, были рассчитаны на основе руководствуясь «Руководством по технологии строительства натяжной струны

Воздушная линия электропередачи при пересечении линий под напряжением без поперечной рамки» [24]. Расчеты определили, что ловляя сеть имела длину 50 м и ширину 8 м.

Несущие тросы были подвешены на высоте 30 м с обоих концов. В сети

Для герметизации было установлено 10 изолирующих веревочных сеток размером 8х5 м каждая. Кроме того, в общей сложности 11 изолирующих стоек были расположены с интервалом 5 м внутри сетки.

уплотнительное устройство

Несущие тросы, используемые в конструкции герметизирующей сетки, изготовлены из материала Dyneema. канаты диаметром 16 мм, выдерживающие разрывное усилие 215 кН. С другой

С другой стороны, изоляционные канаты изготавливаются из нейлоновых канатов диаметром 10 мм. Изолирующие стойки представляют собой обычные стойки из стеклопластика с внутренним диаметром 34 мм и толщиной внешний диаметр 50 мм.

Коэффициент безопасности контактного кабеля составляет:

$$\kappa BT = \frac{\pi.c.}{\chi_c} \tag{7}$$

9 из 33

где Hp – разрывное напряжение нагруженного троса, Hs – натяжение нагруженного троса. кабель. Согласно методическим указаниям, изложенным в «Технологии строительства возд. Линии электропередачи через BCM» [25], необходимо обеспечить, чтобы интегрированный коэффициент запаса силового троса соответствует требованиям спецификации и не меньше 6.

Основные конструктивные параметры герметизирующей сетки приведены в таблице 4.

Таблица 4. Основные конструктивные параметры герметизирующей сетки.

для эксепейной эксерей	звание Здания 2023, 13, х ИЗЫ Веревка Dyneema	Технические характеристики	Количество	Расчетный вес 0,189 кг/м	использовать 10 из 34
1	Изолированная	16	n × 2 палочки	8,3 кг/лист 5,6	Несущий кабель
2	веревочная сеть Обычная	10	10 листов	кг/шт.	Уплотнительная сеть
3	стойка из стеклопластика in3		11 палка		Изолированные прокладки

В этом исследовании используется программное обеспечение конечных элементов ANSYS для выполнения динамического анализа 
структура уняен планана для

Для стафиям истемуючувы выполнения динамического анализа

для стафиям истемуючувы выполнения динамического анализа

эно ветем выполнения для

для стафиям истемуючувы и провежения истемуючувы и провеждения истемуючувы в провеждения в пров

Модельскиты и уплотнительной сетки деформация значительна, когда она испытывает нагрузку из-за в конструкции уплотнительной сетки деформация значительна, когда она испытывает нагрузку из-за из-за его низкой жесткости. Поэтому необходимо найти уравнение равновесия для деформированное положение и найти подходящую форму [27]. Для этого плотность силы деформированное положение и найти подходящую форму [27]. Для этого плотность силы метод применяется при моделировании тюленьовой сети [28]. Рисунок 5 иллюстрирует конечную метод применяется при моделировании тюленьовой сети [28]. Рисунок 5 иллюстрирует конечную модель элемента, полученная после нахождения формы.

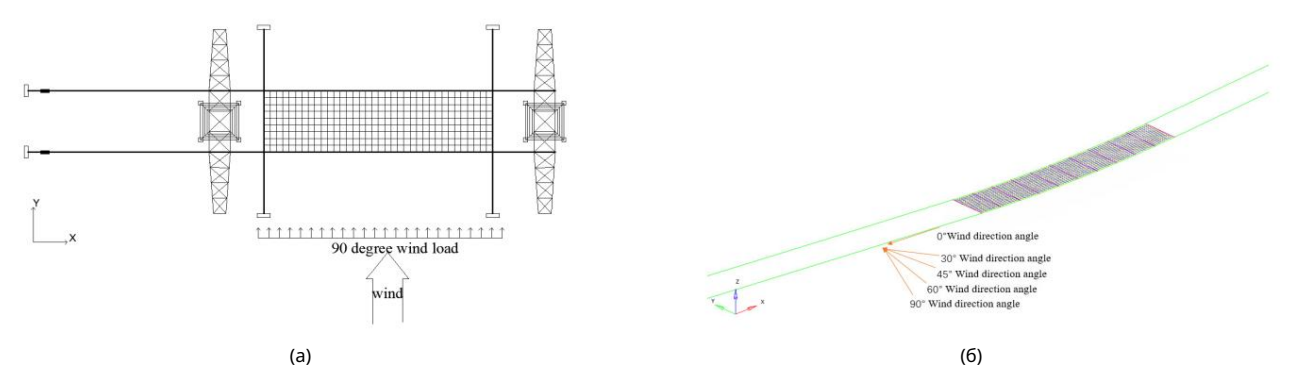


Рисунок 5. Конечно-элементная модель и угол направления ветра. Рисунок 5. Конечно-элементная модель и угол направления ветра. (а) направление ветра 90 действующее на 3.043. Проверка модель конструкции герметизирующей сетки.

Подтвердить точность и достоверность конечно-элементной модели герметизирующей сетки. структура, фасонная уплотнительная сетка проходит процесс проверки. В соответствии с метод теоретического расчета, изложенный в «Руководстве по технологии строительства для десяти-Протяжка воздушной линии электропередачи при пересечении линий под напряжением без Поперечная рама» [24] рассчитывается соответствующий изгиб дуги пролетной уплотнительной сетки.

### 3.1.3. Проверка модели

Подтвердить точность и достоверность конечно-элементной модели герметизирующей сетки.

Структура, фасонная уплотнительная сетка проходит процесс проверки. В соответствии с метод теоретического расчета, изложенный в «Руководстве по технологии строительства на растяжение».

Натягивание воздушной линии электропередачи при пересечении линий под напряжением без пересечения Рама» [24] рассчитывается соответствующий изгиб дуги пролетной уплотнительной сетки. Впоследствии результаты сравниваются с результатами, полученными в результате моделирования методом конечных элементов, чтобы обеспечить их согласованность.

10 из 33

В случаях, когда перепад высот связующего механизма равен нулю, дуга
Провисание уплотнительной сетки измеряется в середине пролета. Учитывая, что спад дуги
на уплотнительную сетку влияет несколько факторов, в том числе расстояние между пролетами, предварительное натяжение
несущего троса, формы уплотнительной сетки и свойств материала, остальные переменные
сохраняются постоянными. Изменяя расстояние между пролетами и учитывая предварительное натяжение кабеля
герметизирующая сеть как независимая переменная, сравнительный анализ теоретических
значения и результаты моделирования могут быть проведены.

(1) Расстояние между стойлами запечатывающей сетки регулируется, при этом расстояние между стойлами является переменным. и предварительное натяжение несущих канатов установлено на уровне 10 кН. Сравнение рассчитанных и теоретические значения спада дуги для различных расстояний между стойлами герметизирующей сетки равны представлены в таблице 5.

Таблица 5. Сравнение результатов расчета.

Передаточное число (м)	Расчетное значение (м) (a)	Теоретическое значение (м) (б)	Ошибка (%) ((б) (а))/(б)
100	2,56	2,64	3.03
150	4.36	4,59	5.01
200	6.19	6.54	5.35
250	8.04	8.57	6.18
300	9.91	10.58	6.33

На основании данных, представленных в таблице 5, можно сделать вывод, что изменение Расстояние срыва уплотнительной сетки приводит к минимальной ошибке между расчетными и теоретические значения моделирования конечно-элементной модели. Максимальная наблюдаемая ошибка составляет всего 6,33%, что указывает на надежность модели.

(2) Кроме того, изменяется предварительное натяжение несущего троса, сохраняя предварительное натяжение является переменной величиной и расстоянием 200 м между стойлами с герметизирующей сеткой. Затем проводится сравнение расчетных и теоретических значений предварительного натяжения. Также рассматривается взаимосвязь между провисанием дуги конструкции уплотнительной сетки и результаты суммированы в таблице 6.

Таблица 6. Сравнительная таблица результатов расчета.

Предварительное натяжение (кН)	Расчетное значение (м) (а)	Теоретическое значение (м) (б)	Ошибка (%) ((б) (а))/(б)
6	6,83	7,45	8.32
8	6,50	6,93	6.20
10	6,19	6,54	5.35
12	5,88	6,23	5,62
14	5,58	5,93	5,90

Из таблицы 6 можно сделать вывод, что при величине несущего кабеля предварительное натяжение отрегулировано, разница между расчетным значением и теоретическим значением результатов моделирования конечно-элементной модели ничтожно мало. Максимальная наблюдаемая ошибка составляет всего 8,32%, что свидетельствует о надежности модели.

### 3.2. Модальный анализ

Автоколебательные характеристики конструкции уплотняющей сетки анализируются с помощью Программное обеспечение АНАСИС. Поскольку модель структуры герметизирующей сети в данном исследовании обширна, Применяется модальный анализ блока Ланцоша [29]. В таблице 7 представлены результаты первого 10 автоколебательных частот и режимов вибрации, полученных без применения внешние силы и демпфирование.

11 из 33

Таблица 7. Характеристики частоты автоколебаний и характера колебаний уплотнительной конструкции.

Модальный номер заказа	f/Гц	Описание режима вибрации	
1	0,183	Перекрут в плоскости уплотнения	
2	0,274	Уплотнения вывернуты из плоскости и виброизогнуты	
3	0,557	Уплотнения вывернуты из плоскости и виброизогнуты	
4	0,559	Перекрут в плоскости уплотнения	
5	1,011	Уплотнения вывернуты из плоскости и виброизогнуты	
6	1,012	Перекрут в плоскости уплотнения	
7	1,456	Уплотнения вывернуты из плоскости и виброизогнуты	
8	1,459	Перекрут в плоскости уплотнения	
9	1,837	Уплотнения вывернуты из плоскости и виброизогнуты	
10	1,841	Перекрут в плоскости уплотнения	

Таблица показывает, что первые десять порядков частоты демонстрируют более быстрый рост. со значительной разницей. Уплотняющая сетка испытывает попеременное скручивание в обоих направлениях. направления в плоскости и вне плоскости, когда соседняя разность частот мала; однако в направлении вне плоскости он склонен к изгибу, вызванному вибрацией. Этот явление возникает из-за совместного влияния массы и жесткости конструкции на модальное характеристики структуры, при этом влияние массы относительно прямолинейно. На жесткость уплотняющей конструкции при растяжении в первую очередь влияют такие факторы, как натяжение несущих тросов, отношение вектора к пролету поверхности уплотнительной сетки и роль изоляционной прокладки. Поскольку конструкция уплотнительной сетки обладает высокой гибкостью, ее жесткость в первую очередь полагается на напряжение, что делает его очень чувствительным к изменениям параметров. влияет на жесткость. Следовательно, он подвержен изгибу и кручению, вызванным вибрацией.

### 3.3. Структурный метод конечных элементов, метод динамического анализа временной динамики

Для анализа динамических реакций, вызванных ветром, обычно используются два подхода. в структурах: метод частотной области и метод временной области. Время Метод домена особенно подходит для исследования динамического отклика нелинейных структурные системы. Поэтому в этом исследовании мы используем метод временной области для расчета. структурно-динамическая реакция. Этот подход предполагает использование специфических вибраций и СТРУКТУРНЫЕ МОДЕЛИ И РАССМОТРЕНИЕ СИЛОВЫХ ХАРАКТЕРИСТИК КОМПОНЕНТОВ. Впоследствии уравнения движения постепенно интегрируются для получения временного значения. эволюция численного решения структурного ответа.

### 3.3.1. Переходный динамический анализ истории времени

Дифференциальное уравнение движения уплотнительной конструкции под действием ветровой нагрузки имеет вид:

$$[M] ... x(t) + [C] ... x(t) + [K]{x(t)} = {F(t)}$$
 (8)

В формуле [M] — массовая матрица уплотнительной конструкции; [C] — демпфирование матрица; [K] – матрица жесткостит, x(t) и x(t) — ускорение, скорость, и векторы смещения конструкции соответственно; x(t) — вектор ветровой нагрузки . которому подвергается конструкция.

Основываясь на конкретных характеристиках выбранной в данном исследовании конструкции ограждения, мы выбрали метод неявной интеграции в рамках подхода прямой интеграции для решение. Этот метод исключает необходимость преобразования координат движения.

уравнения и вместо этого выполняет численное интегрирование непосредственно, пошагово. Он дискретизирует время и вычисляет переменные отклика в каждом приращении времени, что позволяет определить структурный отклик посредством поэтапного интегрирования. Существует несколько известных неявных методов пошагового интегрирования, включая метод Вильсона, метод Ньюмарка, метод Гуртина и метод линейного ускорения. Для анализа динамической реакции конструкции ограждения, вызванной ветром, в этом исследовании мы использовали метод Ньюмарка-β. Этот метод дискретизирует время, предполагая закономерности изменения ускорения в течение периодов времени t + t и xt движения конструкции в определенный момент времени t и выполняя интегральные вычисления для получения выражжений и xt+ t . Включив их в дифференциальное уравнение движения (8), xt+ t , xt+ t , получить решение уравнения движения в момент времени t + t.

Метод Ньюмарка- $\beta$  представляет уравнение баланса движения за время t+ t следующим образом:

[M] .. Max 
$$_{T+}$$
 + [C] . Max  $_{T+}$  + [K]{x}t+  $t = \{F\}t+$   $t$  (9)

Полагая, что скорость и перемещение конструкции в момент времени  $t+\ t$  выражаются следующим образом:

12 из 33

$$(xt+ t = xt + 2ixt t + -2 \beta)...xt + \beta xt + t t$$
 (11)

Согласно уравнениям (10) и (11), скорость и ускорение в момент времени t + t могут быть представлено перемещением в тот момент следующим образом:

$$\ddot{x}t + t = \frac{xr + \tau}{\beta \cdot t^2} - \frac{x\tau}{\beta \cdot t^2} - \frac{\dot{x}\tau}{\beta \cdot t} - \frac{(\frac{1}{2} - \beta)..x\tau}{\beta}$$
 (12)

$$\dot{x}t + t = \frac{yxt + t}{\beta \cdot t} \qquad \frac{yxt}{\beta \cdot t} \cdot (1 \qquad \frac{y}{\beta} y) \cdot xt + (1 \quad ) \cdot x \overline{t} \cdot 2\beta$$
 (13)

$$[K]_{x}t+ t = |F|$$
 (14)

$$[K \quad \gamma] = \frac{1}{\beta \cdot t^2} [M] + [C] + [K]$$
 (15)

$$\{\Phi_{\beta} = \{F\}t + t + [M] \cdot \frac{1}{\beta \cdot t}\beta \cdot \frac{1}{t 2\beta}xt + (\frac{1}{-1})...xt + [C] \cdot xt + \frac{y y y xt - (1 - )..xt}{t \beta 2\beta}xt - (1 - )...\beta \cdot \frac{y y xt - (1 - )...xt}{t \beta 2\beta}xt - (1 - )...\beta \cdot \frac{y y xt - (1 - )...xt}{t \beta 2\beta}xt - (1 - )...\beta \cdot \frac{y y xt - (1 - )...xt}{t \beta 2\beta}xt - (1 - )...\beta \cdot \frac{y y xt - (1 - )...xt}{t \beta 2\beta}xt - (1 - )...\beta \cdot \frac{y y y xt - (1 - )...xt}{t \beta 2\beta}xt - (1 - )...\beta \cdot \frac{y y y xt - (1 - )...xt}{t \beta 2\beta}xt - (1 - )...xt$$

2 В уравнении значения управляющих параметров β и у влияют на точность и устойчивость всего алгоритма. Когда у принимается равным 1/2, алгоритм имеет точность второго порядка. При условии обеспечения точности алгоритма обычно принимают у = 1/2 и β = 1/4.

# 3.3.2. Определение структурного демпфирования

Характеристики рассеивания энергии конструкций во время вибрационных процессов являются важным аспектом при анализе проблем, связанных с динамическими реакциями конструкций. В настоящее время эти характеристики обычно оценивают по демпфирующим характеристикам конструкции. Демпфирующее воздействие на конструкции состоит в основном из двух компонентов: структурного демпфирования и вязкостного демпфирования. На величину демпфирования конструкции влияют внутренние факторы, такие как трение и гистерезис внутри конструкции. С другой стороны, вязкое демпфирование возникает из-за трения воздуха при колебаниях конструкции и прямо пропорционально скорости колебаний конструкции. В практических инженерных приложениях обычно рассматривается вязкое демпфирование, а в программе конечных элементов ANSYS — различные формы

можно определить вязкое демпфирование. Широко используемая модель демпфирования Рэлея выражается уравнением матрицы демпфирования следующим образом:

Здания 2023, 13, х НА ЭКСПЕРТНУЮ ЭКСПЕРТИЗУ

$$[C] = \alpha[M] + \beta[K]$$
 14  $\mu$ 3 34 (17)

13 из 33

В формуле [C] — матрица демпфирования Рэлея, а α и β — массовые демпфирования. коэффициент и коэффициент жесткости демпфирования соответственно. Эти два коэффициента демпфирования 2( можно определить по следующим двум формулам: Джей Джей II 2 2 2 (19)

 $\alpha = \frac{2\omega i\omega j(\xi i\omega j - \xi j\omega i)}{\omega^2 \omega^2}$  (18) В уравнении порядки и представляют собственные частоты і и ј

структуры соответственно while и 2( $\xi$ јωј  $\xi$ ίωί) , соответственно, представляют модальный коэффициенты затухания і-го и ј-го по $\beta$ ядков конструкции. Коэффициент демпфирования каделя структур в целом можно принять за 0,02.

В уравнении ωі и ωј представляют собой собственные частоты і -го и ј- порядков

3. структуру соответственно, а ξі и ξі соответственно представляют собой модальные коэффициенты демпфирования 3.4. Анализ реакций уплотняющей сетки на вибрацию вегра при изменений угла ветра і-й и ј- порядки структуры. Коэффициент демпфирования вантовых конструкций обычно может быть равен принатова и острукций обычно может быть равен принатова и острукции герметизирующей сетки, вызванную ветром,

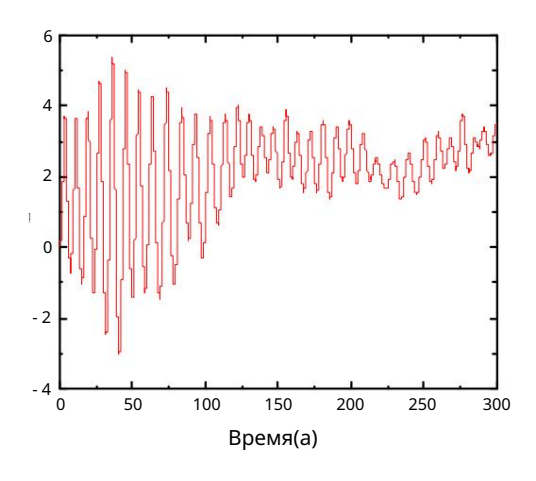
в**еле**рстановки герметизирующей сетки предполагается скорость 10 м/с [30]. Расстояние между

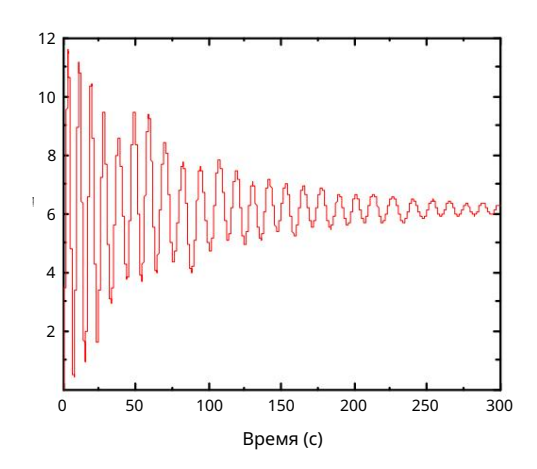
передача хотаца воена ракцом уключийный нагруачки вырока вышки пругысиды в передача хотаца воена ракцом уключийный нагруачки почок из бана вышки в принагом в почок из бана выпользования в проставиться в предпарачения почок из бана выпользования в предпарачения почок из бана выпользования в предпарачения в предпарачения

Два конца конструкции ублотнительной сетки зафиксированы, и при воздействии ветровой нагрузки структура уплотнительной сетки и распределение силы, смещение среднего пролета уплотнения по горизонтали ее можно упростить как равномерную силу. Учитывая ограничения чистая структура, как известно, является самой большой. Чтобы обеспечить более наглядное представление о структура уплотнительной сетки и распределение силы, смещение среднего пролета уплотнения структура уплотнительной сетки и распределение силы, смещение среднего пролета уплотнения структура уплотнительной сетки и напрамения на корилах несущих тросов в

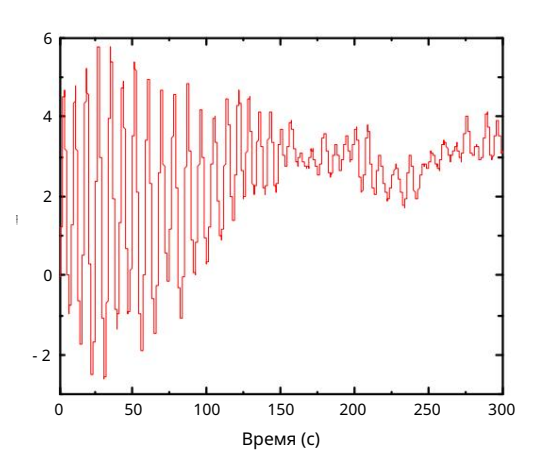
6 с  $\phi$  наделлисьно-вереальталельные временные временные выпользованные временные временные временные временные временные выпользованные высольные выпользованные выстренные выпользованные выпольные выпольные выпольные выпольные выпольные выпольные выпольные

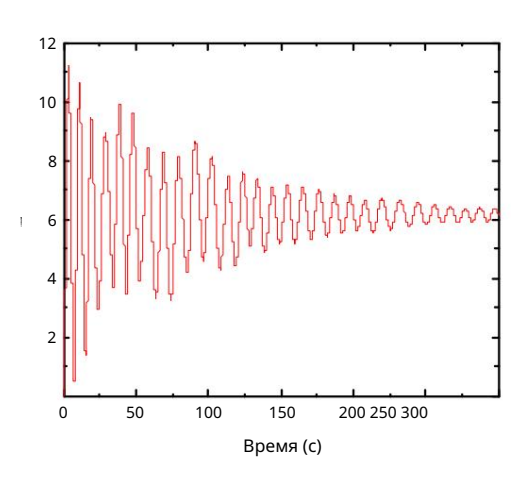
п**Ф**(а) этогия не уносуже по временные диаграммы напряжений на концах несущих тросов. на рисунке 7.



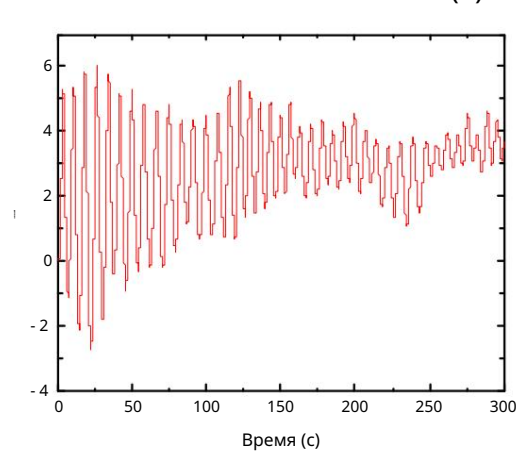


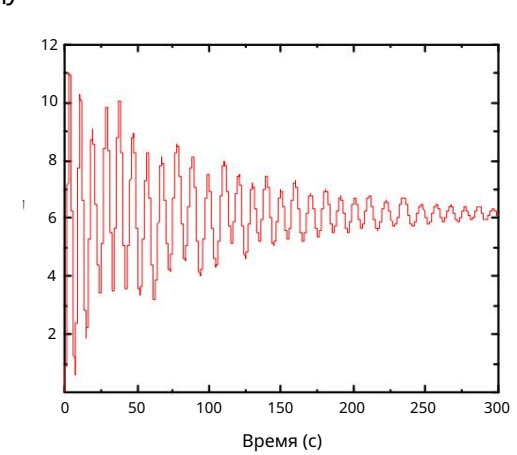
а) Угол ветра 30 градусов.



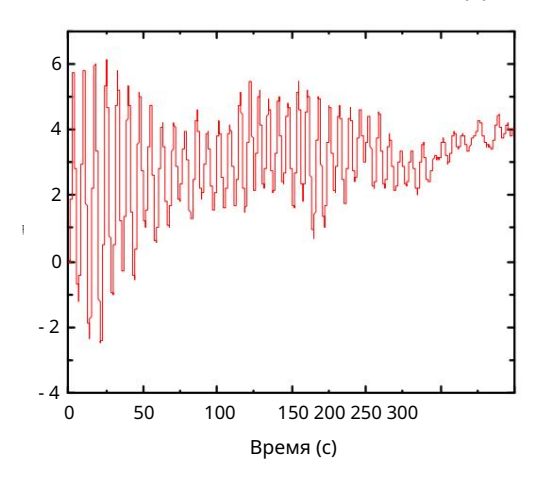


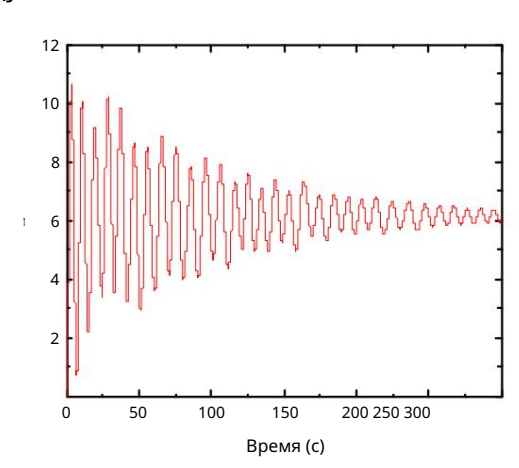
# (б) Угол ветра 45 градусов.





# (с) Угол ветра 60 градусов.





# (d) Угол ветра 90 градусов.

Рисунок 6. Временная диаграмма смещений между пролетами при различных направлениях ветра для уплотнения Рис. 6. Временная диаграмма межпролетных перемещений при различных направлениях ветра для герметизации ние сетевой структуры. сетчатая структуры.

Согласно рисунку 6, при базовой скорости ветра 10 м/с и пролете 200 м,

ветровое смещение уплотняющей конструкции уменьшается как в горизонтальном, так и в горизонтальном направлении. и вертикальном направлениях. В частности, амплитуда колебаний герметизирующей сетки в горизонтальное направление постепенно уменьшается, в конечном итоге проявляя случайные вибрации внутри

3дания 2023, 13, 2947 г. 15 из 33

определенный диапазон. С другой стороны, амплитуда колебаний в вертикальном направлении стремится сходиться к определенному значению. Это является следствием взаимодействия структурных вибрация, трение воздуха и вязкость материала, что постепенно рассеивает энергию и снижает амплитуда колебаний. Рисунок 7 показывает, что максимальное напряжение в конце несущий трос происходит на начальном этапе нагружения. По мере увеличения времени загрузки стресс постепенно стабилизируется. Это связано с тем, что на начальном этапе нагрузки подшипник Кабель испытывает значительную внешнюю силу, приводящую к наибольшему значению напряжения. Через некоторое время, кабель постепенно адаптируется к этой внешней нагрузке и подвергается упругой деформации, вызывая стресс уменьшиться. Как только кабель адаптируется к внешней нагрузке и достигнет стабильного состояния состоянии напряжение уже не претерпевает существенных изменений, и кривая имеет тенденцию к стабилизации.

Здания 2023, 13, х НА ЭКСПЕРТНУЮ ЭКС**ДЕРЛИЗ**Уируя реакцию напряжения на конце несущего троса при различных нагрузках,

можно сделать вывод, что более высокое предварительное натяжение, приложенное к несущему тросу, приводит к большему напряжению. В КОНЦе.

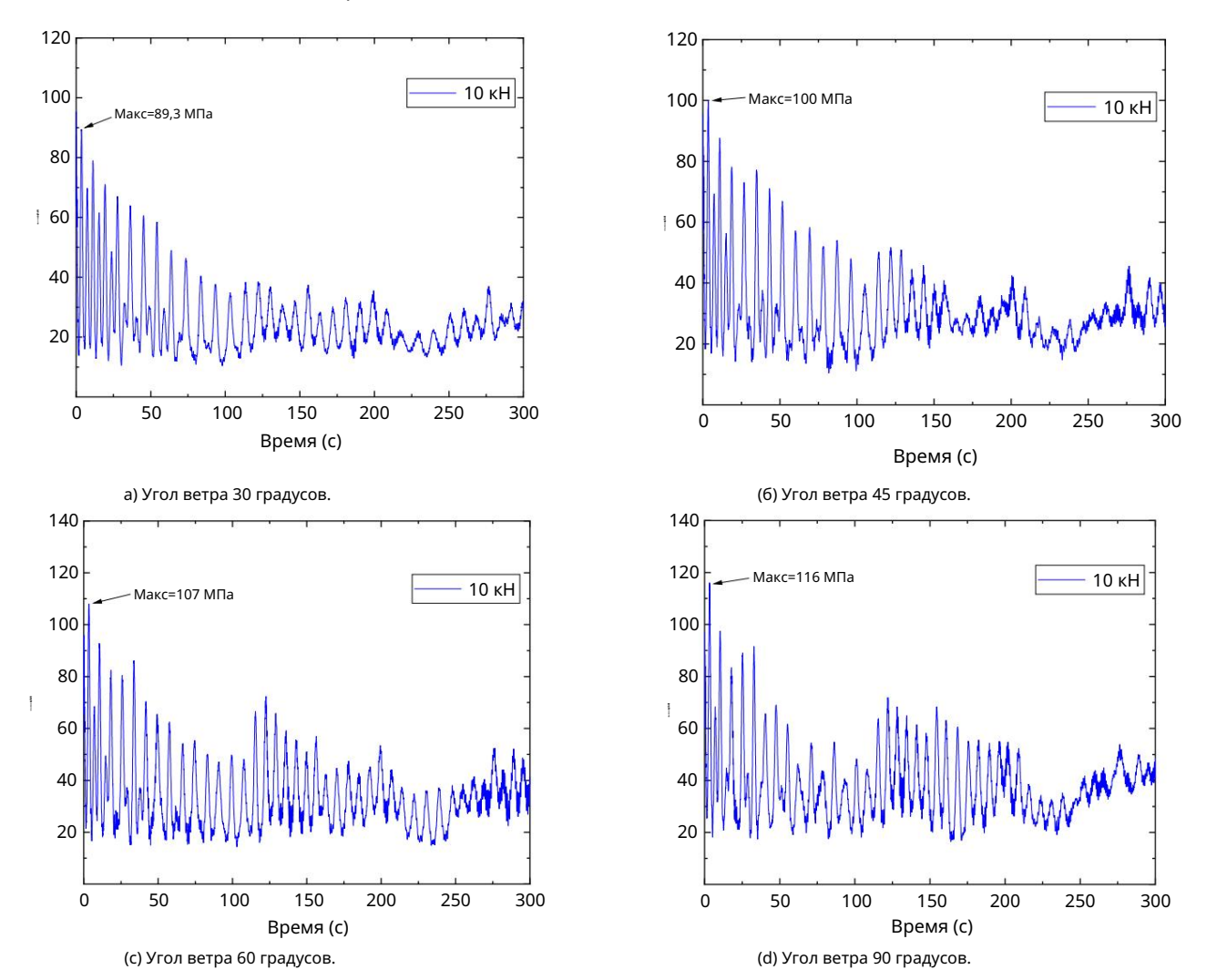


Рисунок 7. Динамика напряжения на конце герметизирующей сетки при различных направлениях ветра. Рисунок 7. Динамика напряжения на конце герметизирующей сетки при различных направлениях ветра.

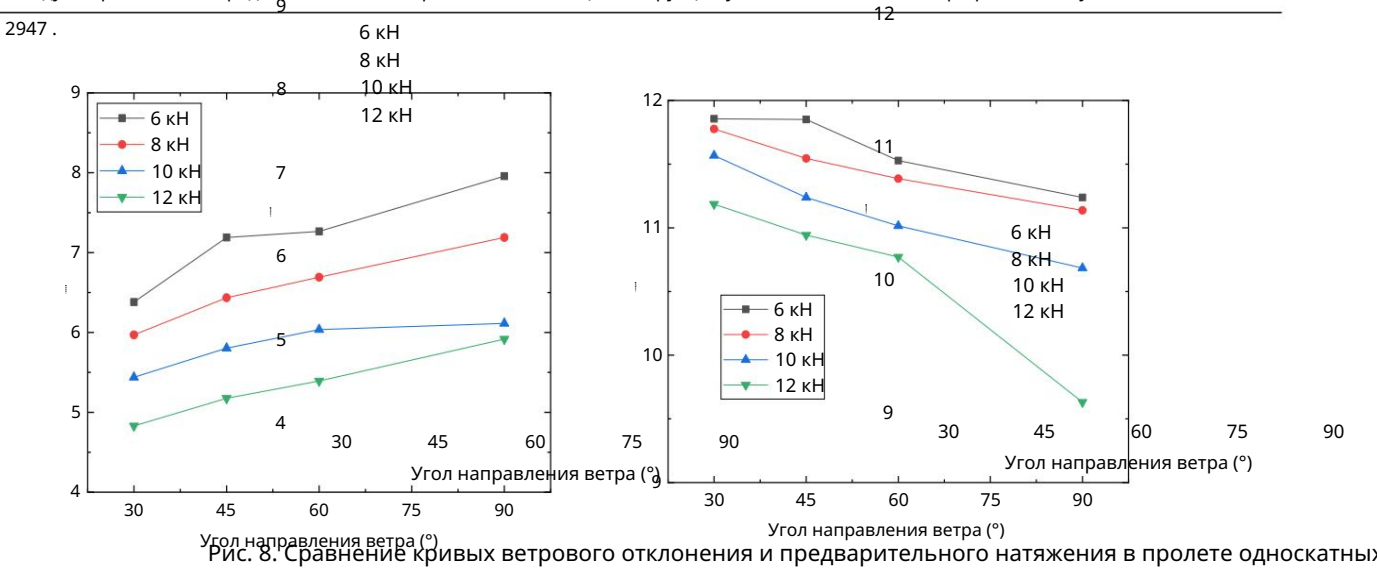
Срабнить ваммость в прожете по предварительным натяжением. В прожете по мере нагружей в предварительным натяжением. В прожете по мере нагружей в предварительным натяжением. В прожете по межене по межене

расчетное значение стресса. Со временем кабель постепенно адаптируется к этой внешней нагрузке и под-

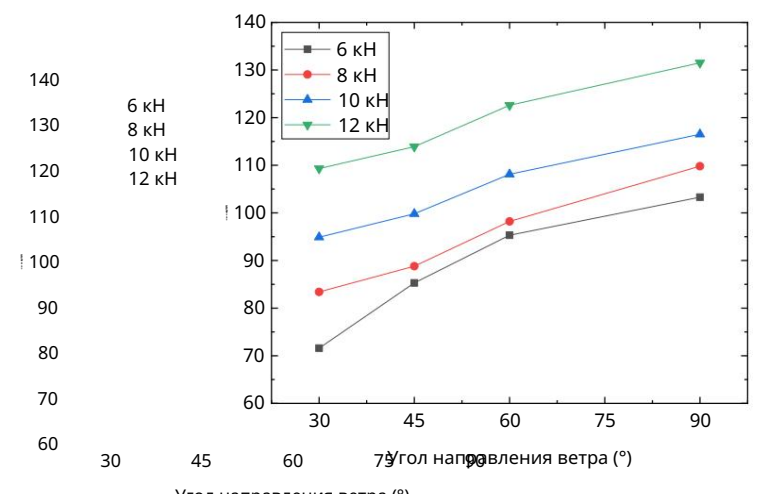
между напряжением и предварительным натяжением на конце конструкции уплотнительной сетки под разными углами ветра.

ветра Здания АВР Дру Напряжением и предварительным напряжением на конце конструкции уплотнительной сетки при различных углах

16 из 33



Сетей при различных углах ветра.
Рисунок 8. Сравнение кривых смещения и предварительного натяжения в пролете герметизации
Рисунок 8. Сравнение кривых смещения и предварительного натяжения при отклонении от ветра в пролете защитных сетей при различных углах ветра.
ловля сетей под разными углами ветра.



Угол направления ветра (°) Рисунок 9. Сравнение кривых концевого напряжения и предварительного натяжения герметизирующих сеток при различных углах ветра.

Рисунок 9. Сравнение кривых концевого напряжения и предварительного натяжения запечатывающих сеток при разном Рисунок 9. Сравнение крумвых квящев О вагиныя как при различных направлениях ветра, горизонтальном и вертикальном, при различных углах ветра. Отклонение ветра исчезает. размещение конструкции герметизирующей сетки увеличивается в горизонтальном направлении по мере ветра.

подъема, в то время как смещение в вертикальном направлении остается относительно неизменным. Углах Очевидно, что запечатывающая сетка непритаванты правине ветра. Это горизонтальном и вертикальном направдениях при различных углах ветра. Смещение конструкции герметинирыющейсествинеюдериненамизонных углах ветра. Смещение конструкции размещение конструкции герметизирующей сетки увеличивается в горизонтальном направлении по мере того объемы как смедение в вертикая выпомнаправлении объемы и по мере того объемы как смедение в вертикая выпомна правлении объемы и по мере того объемы как смедения в вертикая выпомна правлении объемы и по мере того объемы как смедения в того объемы как смедения в того объемы в того время как смещение в воотикальнов на повымение потавлия исторы по мере приближения товы жак правление измененный. Это явление происходит потому, что по мере приближения угла ветра к 90 градусам изменяется. Это явление возникае**у пофомующей остром в стром в с** горизонтальном направлении постепенно усиливается, в результате чего достигает 12 кH, напряжение на конце сила вдоль оси у в горизонтальном направлении постепенно усиливается, что приводит к увеличению см<u>анжения и пода, как инахидавление окии грукавываетличны</u> мальное влияние. Как прет- Однако важно отметить, что авление оси 2 оказывает минимальное влияние. Будучи тросом с предварительной Смещорной есуветом триманения, соглаещен энекуминельняющих е сепкот в резорущих стеннен в окумень шастах в не ветром уплотняющей сетки постепенно уменьшается, в то время как несущий трос работает в безопасном диапазоне. уплотняющей сетки постепенно уметьшается, в то время току поставление усиливается. В частности, при напряжении внутри уплотняющей сетки постепенно усиливается в частности, при напряжении внутри уплотняющей сетки постепенно усиливается в частности, когда предварительное натяжение и напряжения на уплотняющей сетки постепенно усиливается в частности, когда предварительное на 134.3% выше, чем при предварительном несен достигает 12 кH, напряжение на другом ветра другом несении троса достигает 12 кH, напряжение на конце на конце на конце на при предварительном несении троса Однако важно отмеНИЯ, СОСТОВДЯЖЕТ ПРИ НОВИНДЕН ВОЖНЯ ПРИМЕНИИ НЕ МЕНЕНИЕ ПРИ ДЕНЕНИЕ ПРИ ДЕНЕНИЕ ПРИ УСИЛИЕ СОСТАВЛЯЕТ 6 КН. конце несущего трое в этологнае в строе не истанов и пред него проекта в пред него проекта в пред него проекта в пред него проекта в пред него пр старый, гарантируя, Чата же сущборо оберанные располиться и просторый, гарантируя, чата же сущборо оберанные данные, Смещения в середናክ<del>ቶጅ ልዩያቴላኒ የሞኒናና ја укра</del>мски ја консца и в серед**га ја консца и в середга ја консца ја консца и в середга ја консца ј** сетки составляет 90 утреду ставляет 90 угреду 90

Структура сети составляет 90 градусов.

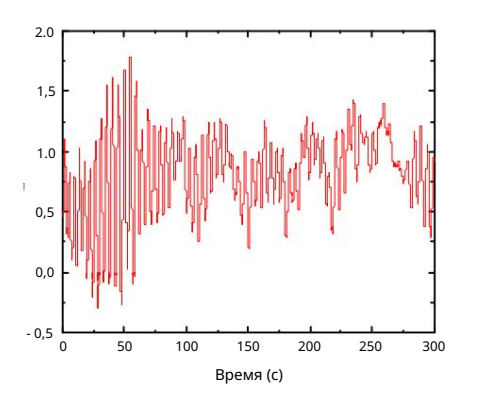
17 из 33

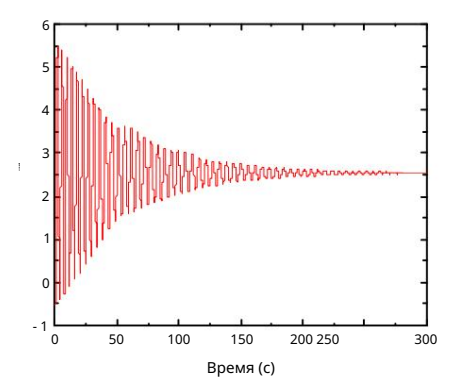
разные линии передачи. В реальной конструкции выбранное расстояние пролета для

Длина запечатывающей сети обычно составляет от 100 до 300 м или менее [31]. Следовательно, расстояние пролета

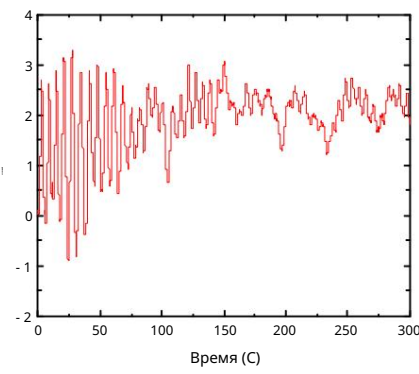
приманиямиче поэте ветра  $3900 \, \mathrm{M}^{3}$  Скорость ветра выбрана скорость 10 млсти у пол ветра об градусбы как найболее неблагоприятное условие. и натяжение кабеля 10 кН для анализа вибрации, вызванной ветром. ответ. Смещение во времени в пределах соответствующей конструкции уплотнительной сетки. представлено перемещение во времени в пролете соответствующей конструкции уплотнительной сетки. Представлена на рисунке 10, а напряжение во времени на концах несущей конструкции на уплотнительной сетки. Представлена на рисунке 10, при этом отображены напряжения во времени на концах несущей конструкции на рисунке 10.

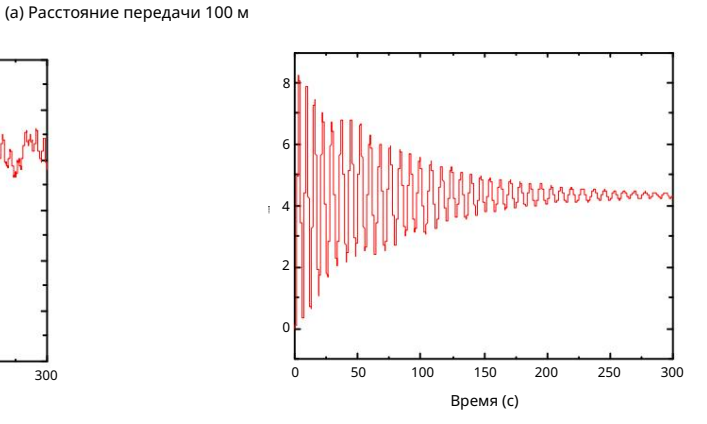
на рисунке 11.



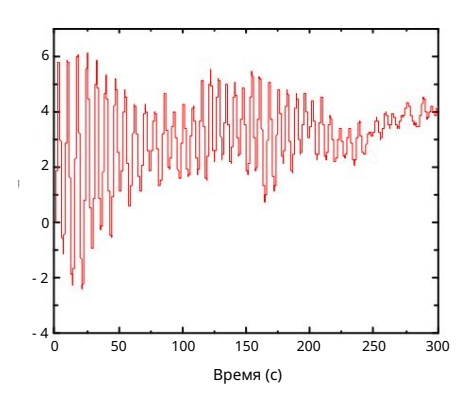


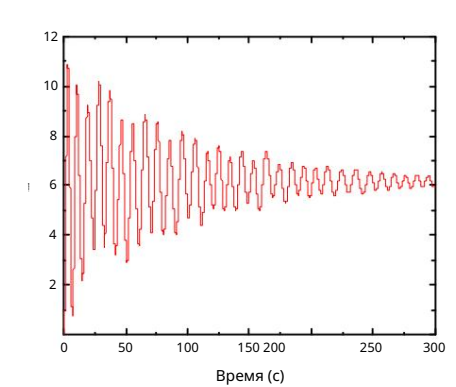






### (b) Расстояние передачи 150 м





(с) Расстояние передачи 200 м

Рисунок 10. Продолжение

 $^{3}$ дания 2023,  $^{1}$ 3,  $^{1}$ 4,  $^{3}$ 4,  $^{4}$ 4,  $^{3}$ 4,  $^{4}$ 5,  $^{4}$ 5,  $^{4}$ 6,  $^{4}$ 7,  $^{4}$ 8,  $^{4}$ 8,  $^{4}$ 8,  $^{4}$ 9,  $^{4}$ 8,  $^{4}$ 9,

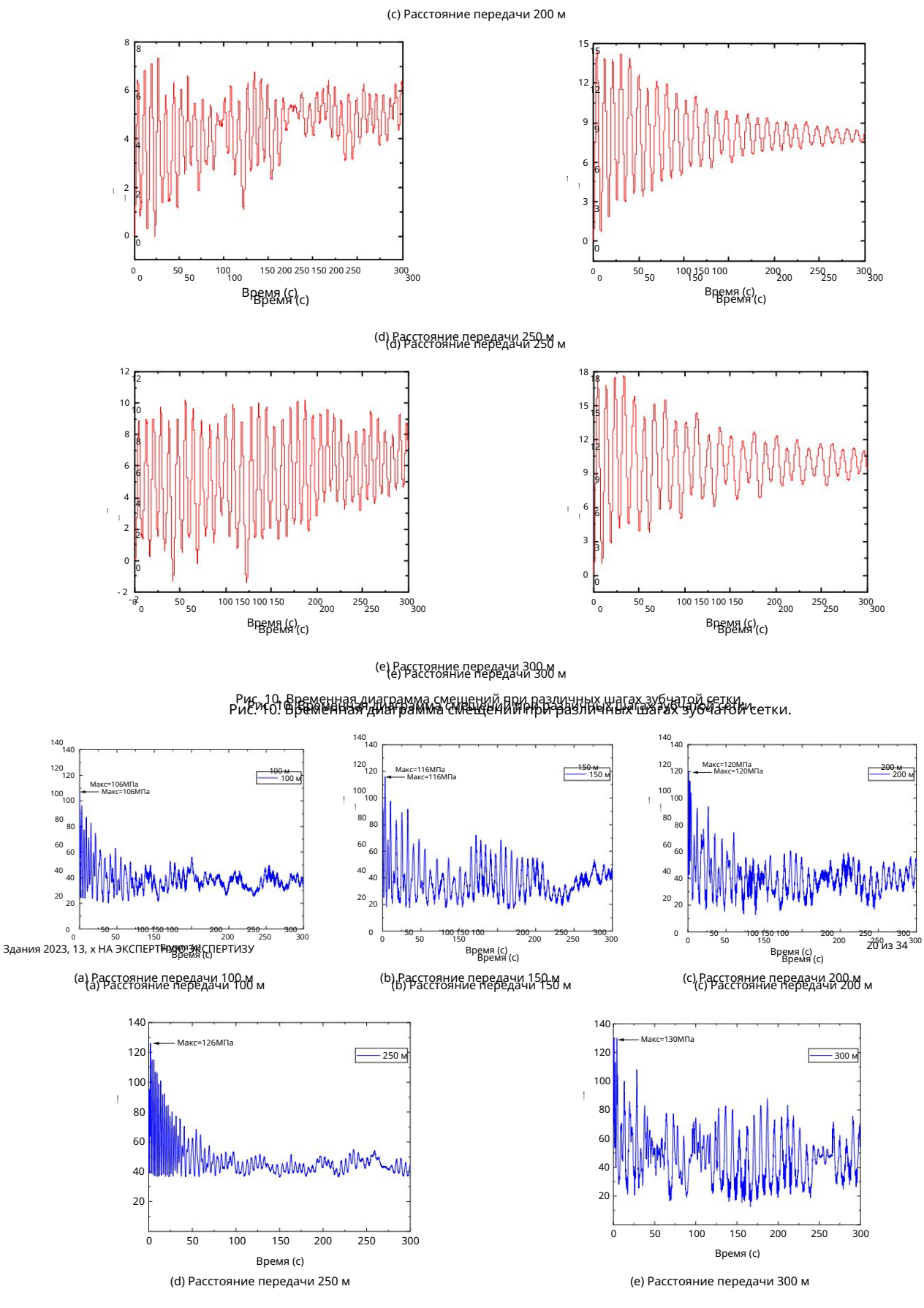


Рисунок 11. Динамика напряжений на концах несущих тросов с различным шагом зубчатых колес. Рисунок 11. Динамика напряжений на концах несущих тросов с различным шагом зубчатых колес.

На основании анализа рисунков 10 и 11 можно заметить, что при предварительном

Скорость ветра составляет 10 м/с, угол направления ветра 90 градусов, горизонтальное направление.

Колебания запечатывающей сетки уменьшаются по амплитуде и в конечном итоге достигают устойчивого уровня.

диапазон. В вертикальном направлении колебание стремится к определенной величине. Максиминимальное напряжение на конце троса герметизирующей сетки возникает в течение 5 с перед

приложение к конструкции переменной ветровой нагрузки. Более того, с прохождением

19 из 33

Рисунок 11. Динамика напряжений на концах несущих тросов с различным шагом зубчатых колес.

теунок 11. динамика наприжении на концах несущих тросов с различным шагом зуочатых колес.

—— На основе анализа рисунков 10 и 11 можно заметить, что при скорости ветра 10 м/с и угле направления .

ветра 90 градусов h

Колебания тюленной сети уменьшаются по амплитуде и в конечном итоге достигают. Основываясь на анализе рисунков 10 и 1, можно заметить, что при преобладающей

дияюянын Вавихника вынры эти придукты и искомы вы помень в при типе в помень в поме

предел ( пределний драснатных данных на рисунке 12 представлена постепенная стабилизация в кривь**жениему мужениему краснатиру кривьжениему кривь кривь** 

кривые смещения уплотняющей конструкции для разных пролетов. Кроме того, таблица 8 предоставляет информацию о напряжениях на конце уплотняющей конструкции в виде предоставляет информацию о напряжениях на конце уплотняющей конструкции, связанных с с разнычны полоты.

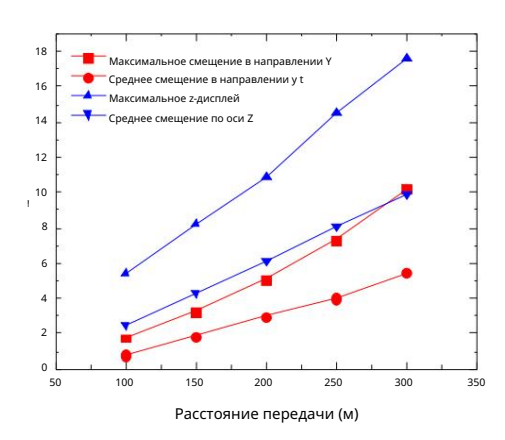


Рис. 12. Изменение смещения уплотнительной конструкции при разном расстоянии друг от друга. Рис. 12. Изменение смещения уплотнительной конструкции при разном расстоянии друг от друга.

Таблица 8. Напряжения на конце уплотняющей сетки при различных пролетах.

аблица 8. Напряжения на кон Расстояние между манометрами (м)	ЦЕ УПЛОТНЯЮЩЕЙ СЕ Максимальное напряж	тки при разл ение (МПа)	пичных пролетах. Среднее значение напряжен	иия (МПа)
100 Расстояние между маноме	106,3 грами (м) Максимал 116.0	ьное напря:	38,0 жение (МПа) Среднее значен 38,5	ие напряжени
200100	119,8	106,3	40,5	38,0
<sup>250</sup> <sub>50</sub>	125,7	116.0	46,9	38.5
300	129,6	110.0	47,2	40 E
200		119,8		40,5

Рисунок 12 иллюстрирует значительные перемещения ветра как по горизонтали, так и по вертикали. направления утпотнительной сетки. Величины объемений возрастают с увеличением расстояние между стойлами, что указывает на значительное влияние изменений расстояния между стойлами на плотность запечатывающей сетки.

ветровое смещение. Вертикальные смещения варьируются от 100 м до 300 м шага. С 50 м. Рисунок 12 иллюстрирует значительные ветровые смещения как при горизонтальном увеличении шага, так и при максимальном смещении уплотняющей сетки между пролетами, которое увеличивается на тические направления уплотняющей сетки. Величина этих смещений увеличивается на 2,108 м по горизонтали и 3,030 м по вертикали. Этот вывод подчеркивает значительное влияние

бөөминжинда структуру «жим ғлайодым сетку қазыра қананың шаға между смещеника зырыст, изгорыюния шаға между смещеника зырыст, изгорыюния жетим нестим нестим вероми в вероми кананың айылы тырысты тырысты тырысты тырысты жетим жетим нестим н

охватывающие поля. Этот эффект обусловлен увеличением длины несущего троса, подача. При увеличении шага на 50 м максимальное смещение между пролетами приводит к увеличению общей массы уплотняющей конструкции. При этом ветровая нагрузка

на уплотнительную структуру генерирует повышенную совокупную силу, что приводит к более высокому напряжению при

конец несущего троса. На расстоянии 300 м пиковое напряжение достигает примерно 129,6 МПа, с коэффициентом запаса 9,67, что указывает на сохранение напряжения

в пределах безопасного диапазона.

Следовательно, смещение ветром и напряжение в каждом восходящем направлении уплотнения Структура сети увеличивается с увеличением расстояния между шестернями. Во время строительства ВЛ рекомендуется выбирать меньшие зубчатые расстояния для герметизации сетки к

свести к минимуму смещение ветром и нагрузку на конструкцию уплотнительной сетки, обеспечивая безопасность.

Следовательно, напряжение в каждом направлении вверх по конструкции удерживающей сети возрастает с увеличением

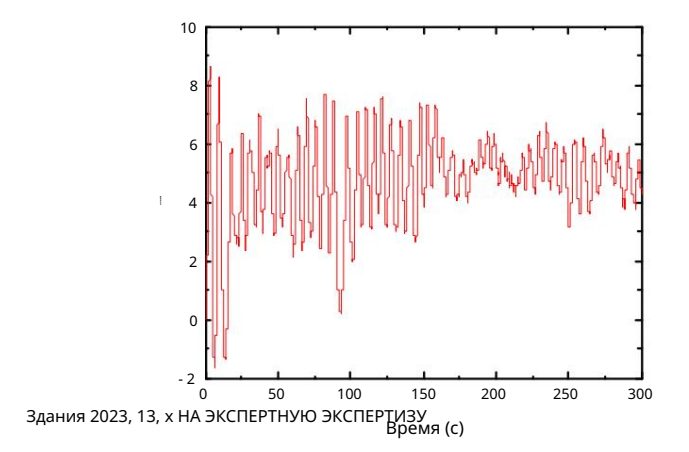
Machine Translated by Google расстояния между пролетными механизмами. При строительстве ВЛ рекомендуется выбирать меньшие зубчатые расстояния герметизирующей сетки. чтобы минимизировать ветровые смещения и нагрузки на конструкцию герметизирующей сетки. обеспечивая безопасность.

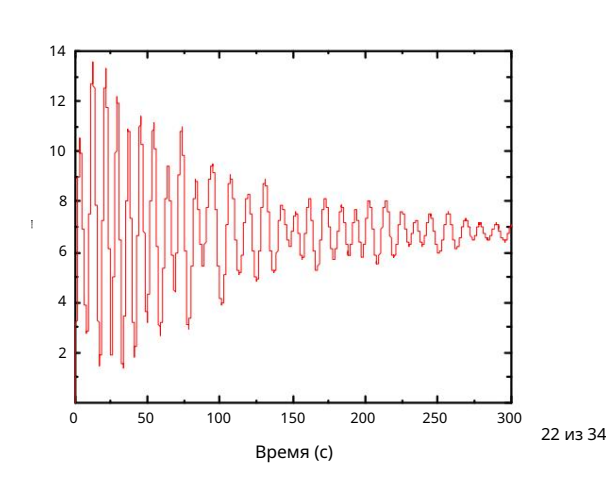
20 из 33 Здания 2023, 13, 2947 г.

> <del>3.6. Анализ реакции уплотнительной сетки на вибрацию ветра при натяжении несущего троса и изменении скорости ветра</del> Натяжение несущих тросов

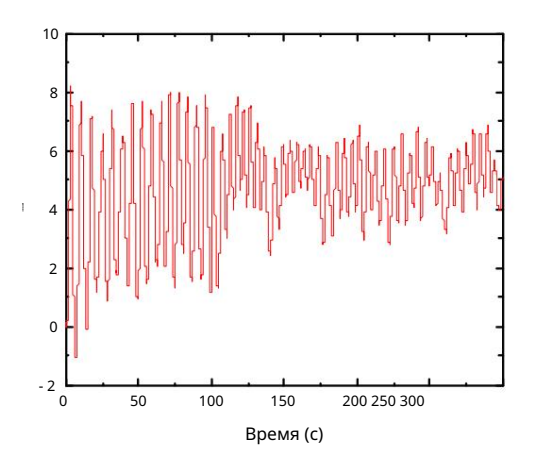
колебваятстранитьстим мижестим жера ворожность бот выправниться в провожность в провожность в провожность в провожность в простительного в провожность в променения провожность в провожность в променения провожность в променения провожность в пременения предста променения прости в променения прости в променения променения прости в предст эфирминжерикукигээг ондирменталилары арарындан жарындан жарарындан барындан барындан барындан жарындан жарын жарын жарын жарын жарын жарын жарын жары  $c_{\mathsf{T}}$ ሃሪና/የелсечечирвления го горбечия ባለвор не україници и растроми и обстоятельства, в рамках данного исследования предполагается, что возведенная конструкция может стодкнуться с ветреной погодой, для несущих тросов были выбраны четыре различных уровня предварительного натяжения: 6 кH, 8 кH, 10 условий. 6 кH, 8 кH, 10 кH и 12 кH. Эти значения предварительного натяжения были для несущих кабелей. Исследовать реакцию на ветровую вибрацию выбранной конструкции закрытия , чтобы обеспечить безопасное использование несущих тросов. Чтобы ветровую виорацию выоранной конструкции закрытия , чтобы обеспечить с резопасное использование несущих тросов. чтобы исследовать вибрацию ветра при различных скоростях ветра, было проведено моделирование для пяти различных скоростях ветра: 6 м/с, реакция конструкции закрытия при различных скоростях ветра, моделирование проводилось для 8 м/с, 10 м/с, 12 м/с и 14 м/с. Расстояние сваливания было установлено на уровне 200 м, а скорость ветра была пятью различными: 6 м/с, 8 м/с, 10 м/с, 12 м/с и 14 м/с. Угол расстояния сваливания 90 градусов использовался для расчета и а нализа ветровой вибрации. была установлена на высоте 200 м, а для вибрации ветра использовался угол направления ветра 90 градусов. Из-за большого количества рабочих условий для расчета и анализа использовалась только временная диаграмма . смещение в середине пролета извлекается, когда скорость ветра составляет 14 м/с, что является соотношением . История смещения середины пролета извовкарукцииу, кизракти, явтри 24-м/кг, никазвическа и утику, ительный на присунке присунке и утиненти и утине

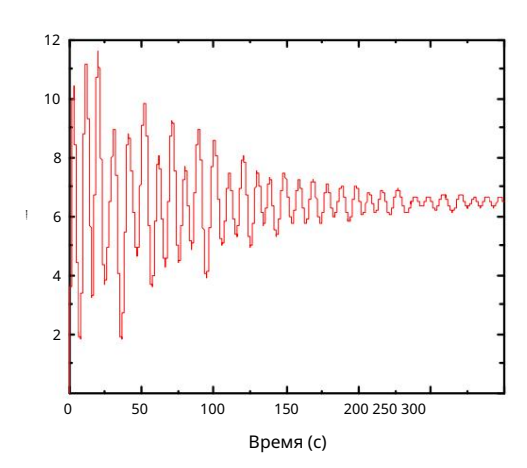
13. Напряжение Временная диаграмма несущего конца троса конструкции герметизирующей сетки показана на рисунке 14.





(а) Предварительное натяжение несущих тросов усилием 6 кН.

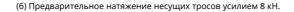


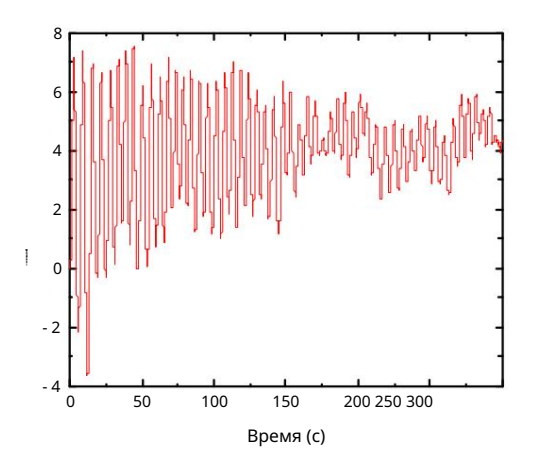


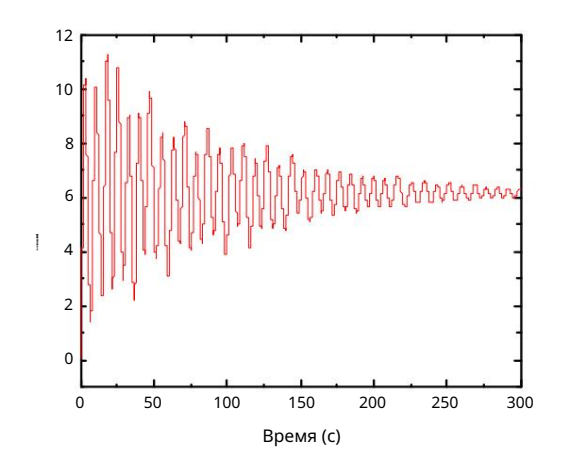
(б) Предварительное натяжение несущих тросов усилием 8 кН.





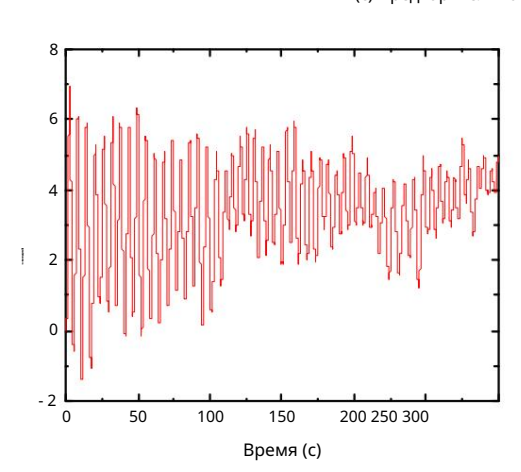


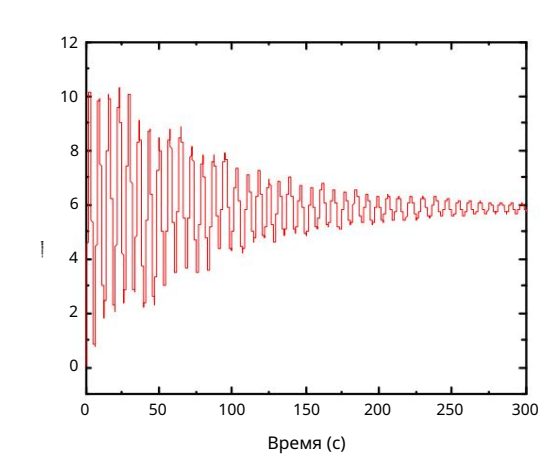




21 из 33

(с) Предварительное натяжение несущих тросов усилием 10 кН.





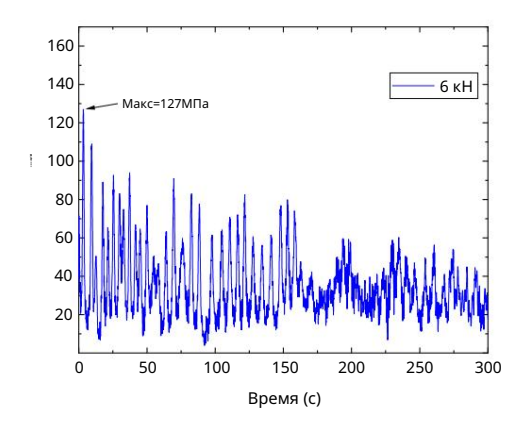
(d) Предварительное натяжение несущих тросов усилием 12 кH.

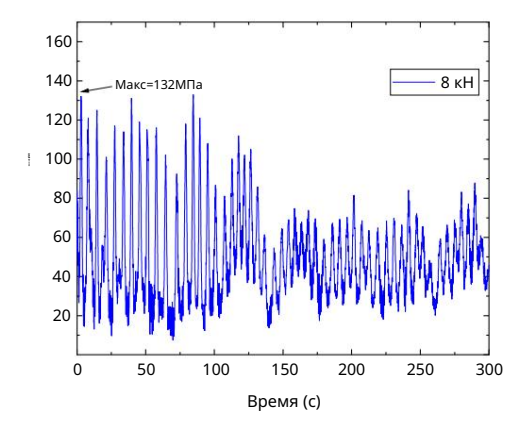
Риби 2.3-3-4 диннум кк а смещений инесущих тросов в середине-проядет произвалиныю каняжений кросов в середине-проядет произвалиныю каняжений кросов.

На основании анализа рисунков 13 и 14 можно заметить, что амплитуда горизонтальных колебаний герметизирующей сетки постепенно уменьшается и в конечном итоге начинает беспорядочно вибрировать. в определенном диапазоне при угле ветра 90 градусов и расстоянии сваливания 200 м.

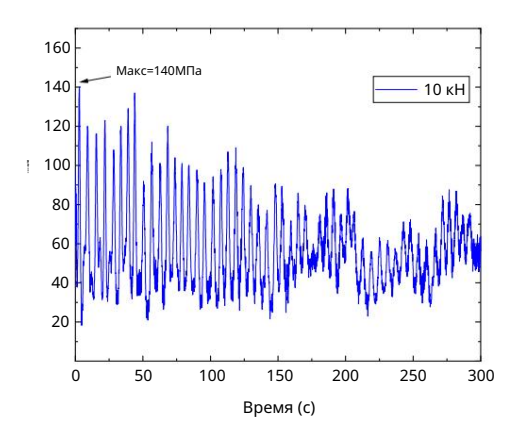
Амплитуда вертикальных колебаний имеет тенденцию стабилизироваться на определенном значении. Максимальный стресс на конце несущего троса происходит на начальном этапе нагружения и по мере время загрузки увеличивается, напряжение постепенно стабилизируется. Анализ реакции на стресс в конце несущего троса для различных предварительных натяжений, можно сделать вывод, что более высокое предварительное натяжение уровни приводят к увеличению напряжения на конце кабеля. В частности, при натяжении 12 кН прикладывается к несущему кабелю, пиковое напряжение составляет примерно 161 МПа, что обеспечивает безопасность коэффициент 7,8. Таким образом, напряжение в несущем тросе остается в безопасном диапазоне.

С учетом расчетных данных построены кривые зависимости ветрового отклонения кривые смещения и предварительного натяжения в середине пролета уплотняющей сетки получаются по формуле показано на рисунке 15. Напряжение на конце уплотняющей конструкции показано на рисунке 16.

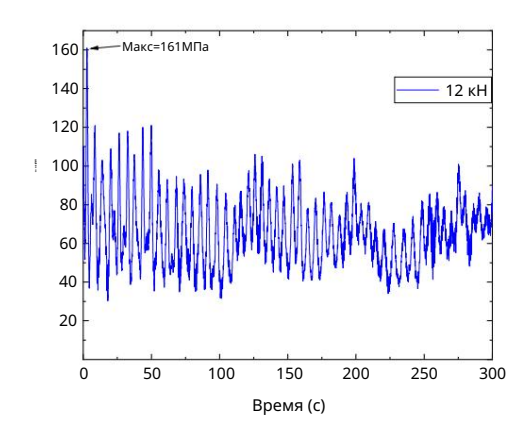




(а) Предварительное натяжение несущих тросов усилием 6 кН.



(б) Предварительное натяжение несущих тросов усилием 8 кН.



для экспертной рецензии

(d) Предварительное натяжение несущих тросов усилием 12 кН.

Висунок 14: Динамика напряження на новенесувствуют премленных премленных напряжения на новенесувствуют в премленных премления и премления на новенесувствуют в премления на новенесувствуют на н



Рис. 15. Сравнение кривых ветрового отклонения и предварительного натяжения на пролете Рис. 15. Сравнение кривых ветрового отклонения и предварительного натяжения на пролете уплотнительная сетка с различными углами ветра и натяжением несущего троса. уплотнительная сетка с различными углами ветра и натяжением несущего троса.

180	
	6 ĸH
	8 кН
160	10 ĸH
	12 ĸH
140	
120	

Скорость ветра (м/с)

Скорость ветра (м/с)

Здания 2023, 13, 2947 г.

Рисунок 15. Сравнение кривых смещения и предварительного натяжения ветрового отклонения в пролете 23 из 33 уплотняющей сетки при различных углах ветра и натяжениях несущих тросов.

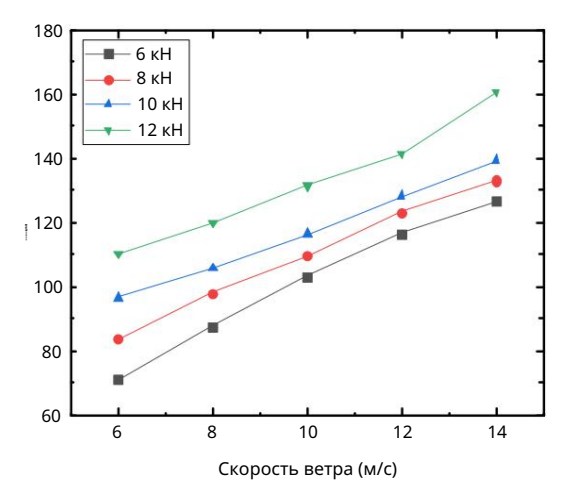


Рисунок 16. Сравнение напряжения на конце уплотняющей сетки с кривой предварительного натяжения при различных Рисунам на форбравания правуждения правуждения при различные углы ветра и натяжение несущих тросов.

Согласно рисункам 15 и 16, ветровое отклонение герметизирующей сетки увеличивается в обоих случаях.

горизонтальном и вертикальном направлениях с более высоким предварительным натяжением несущих канатов и Согласно рисункам 15 и 16, отклонение герметизирующей сетки ветром увеличивает скорость ветра. Кроме того, наблюдается заметное увеличение концевых напряжений, что указывает на то, что

как горизонтальное, так и вертикальное направления с более высоким предварительным напряжением медведя предварительное натяжение несущих тросов и скорость ветра существенно влияют на ветровое отклонение

вервенницку раптыяетрая ўраментабоцета беркалетіся армедвара неясныя ние жаванавыченущая жөвной т.е.

Учкопноврукциону положение цей сущетих просовым аккоро втобом прагучарах твенно влияют на увеличение, ветровые перемещения ветровых ветровых на увеличение ветровых ветровых просовом и ветровых просом при просом просом просом прагучарах прагучарах просом просом прагучарах просом просом прагучарах просом прагучарах просом п

перемещений конструкции уплотняющей сетки в увеличивается несущая нагрузка тросов, ветровые отклонения смещают уплотнение как в горизонтальном, так и в вертикальном направлении. Если рассматривать скорость ветра как переменную величину, то уменьшение структуры как в горизонтальном, так и в вертикальном направлении. И наоборот, приращение Смещение от отклонения ветром и напряжение герметизирующей сетки имеют приблизительно линейную зависимость.

СТВУЗТИЯКВИГРАТИГЕЗГИВГОВТУСКОТУСКОТУСКТА В ВЕГРЯР 1149 МТЕРАНІЯ МГЛІЧКИ, В В В В ТИКУЛІВНИЕ В В НУКОТ В НЕИТВИВ В НУКОТ В НЕИТВИВ В НИТЕ В В В ПОВІТИТЕ В В НИТЕ В В НЕИТВИВЕ В НУКОТ В НУКОТ В НЕИТВИВЕ В НУКОТ В НУКОТ В НУКОТ В НЕИТВИВЕ В НУКОТ В НЕИТВИВЕ В НУКОТ В НУКОТ В НИТВИВЕ В НУКОТ В НИТВИВЕ В НУКОТ В НИТВИВЕ В НУКОТ В НИТВИВЕТ В НУКОТ В НУКОТ

ск**брошнымаминарримеениа**яр**амамирение от да дахиварив от веорания именряжения и филором от распорожения ворания и мета это при вет распорожения ворания ворани ворания ворания ворания ворания воран** 

предварительное натяжение несущего троса – 6 кН. Несмотря на усиление стресса в конце несущей и напряжение возникают, когда базовая скорость ветра составляет 14 м/с. Аналогичным образом, герметизирунесущую сеть сетку, она остается в пределах безопасного диапазона.

Максимальные ветровые отклонения и напряжения возникают при предварительном натяжении Однако, когда скорость ветра для недущувжейений боздудений боздудений в произремента и монтаж

кованьсостывающь в делуквопринивовые приливина в приливины в приливина в прили

увебірның шен авыря жетірімены жоғоде і рөвулдено қароға маныя илиния обсеральном можется вкуорыя тыся, ото дециетной

диапазон.

Более того, если вертикальное смещение ветрового отклонения

вапечатывающая сетка превышает зазор между запечатывающим устройством и пересеченн

запечатывающая сетка превышает зазор между запечатывающим устройством и пересеченной Однако при скорости ветра ниже 10 м/с (допустимая линия скорости ветра (3,6 м)), уплотняющее устройство может проникнуть в нижнюю линию, что приведет к повреждению и строительство и монтаж воздушной линии), горизонтальное смещение ветром с тяжелыми последствиями. Несмотря на возможность снижения горизонтального и вертикального ветра

зауянатыяльная кеткилов вы уветиления ины на вышать теоретически допустимые значения. Поэтому необходимо принять меры ограничить смещение конструкции уплотнительной сетки ветром во всех направлениях.

# 4. Контроль ветрового отклонения конструкции герметизирующей сетки с помощью дополнительных тросов управления.

Приведенный выше анализ показывает, что традиционная решетчатая уплотняющая конструкция подвержена значительному отклонению ветром при воздействии ветровых нагрузок, что делает ее неэффективной. и приводящие к тяжелым последствиям. Предыдущие исследования показали, что присоединение ветра кабель управления отклонением (называемый кабелем) к уплотнительной сетке может эффективно подавлять отклонение ветра во всех направлениях [32–34]. Однако эти исследования были сосредоточены только на кабелях. способность контролировать отклонение ветра и отклонение ветра вниз без проверки расположение кабеля или угол между кабелем и землей. Таким образом, строительство Основываясь на этих знаниях, в данном исследовании исследуется влияние кабеля на вибрацию ветра.

3дания 2023, 13, 2947 г. 24 из 33

трос на ветровое отклонение конструкции данного типа. Результаты этого исследования предоставят ценную теоретическую информацию для эффективного контроля отклонения ветра в таких условиях.

Структуры.

реакция герметизирующей сетки, если рассматривать угол между кабелем и землей как г

реакция герметизирующей сетки, если рассматривать угол между кабелем и землей как переменную величину. Сравнительный анализ проводится при различных скоростях ветра и углах направления расположение троса кбтроличеновой объемности и проводится при различных скоростях ветра и углах направления расположение троса кбтроличеновой объемности и проводится при различных скоростях ветра и углах направления расположение троса кбтроличеновой объемности и проводительной объемности.

исследования предоставят ценную теоретическую информацию. Существует множество методов предотвращения куменцения ветроярум конструкцения предоставать вывод, что смещение ветрового отклонения в запечатывающей сети можно предотвратить за сче уменьшения вывод, что смещение ветрового отклонения в запечатывающей сети можно предотвратить за сче уменьшения в запечатывающей сети можно предотвращения натяжение запечатывающей сети в запечатывающей сети можно средствувной в запечатывающей сети предоставания можно средствувной в запечатывающей сети предоставания можно средствувного строительного отклонения крайне ограничено и не уменьшим предоставания можно средствувного строительного строительного отклонения крайне ограничено и не уменьшим предоставания можно средствувного строительного строительного строительного строительного отклонения крайне ограничено и не уменьшим предоставания можно предоставания можно средствувного строительного строительного

уменьшив шаг герметизирующей сетки и увеличив ее. Отклонение герметизирующей сетки ветром можно эффективно подавить, придав предварительное натяжение несущим кабелям. Однако эффект ингибирования крайне ограничен, т.к. кабели прилегают к несущим кабелям. Однако эффект ингибирования крайне ограничен, т.к. кабели прилегают к несущим кабелям конструкции терметизирующей сетки. Натяжные тросы уста Новлений метрем тросы уста Новлений метрем тросы, входящие в состоя уста Новлений метрем просы, входящие в состоя уста Новлений метрем просы, входящие в состоя уста на принего и просы, входящие в состоя уста на принего на просы, входящие в состоя уста на принего на просы, входящие в состоя уста на просы катеми на просы катеми на просы катеми на просы кабели на одном конце и закреплены на земле с помощью заземляющих анкеров на другом конце. кабели на одном конце и закреплены на земле с помощью заземляющих анкеров на

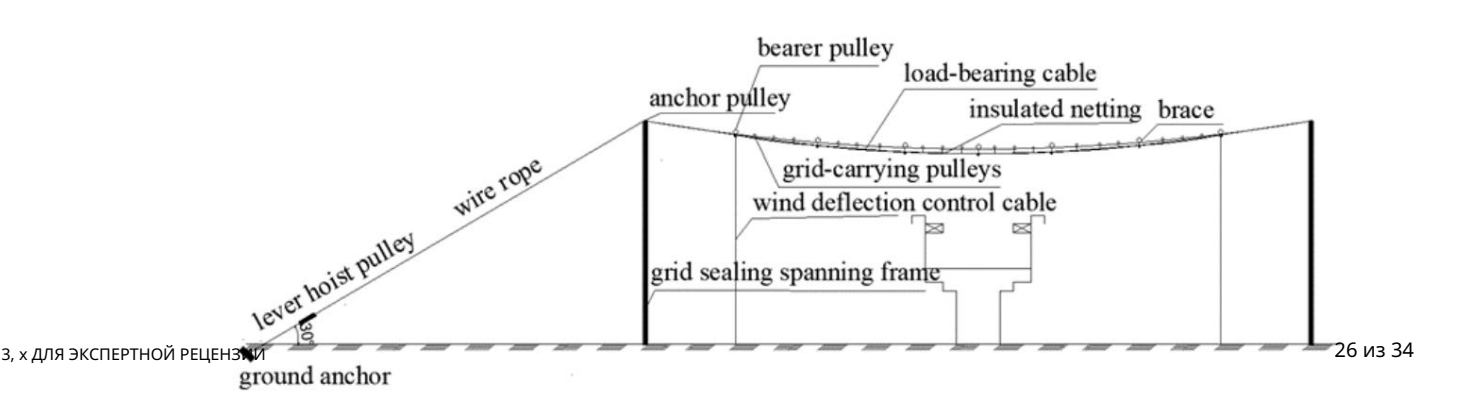


Рисунок 17. Вид спередина конодрукции тролетуой уплотантей вной неемной управление векветровым стронениямения. меры.

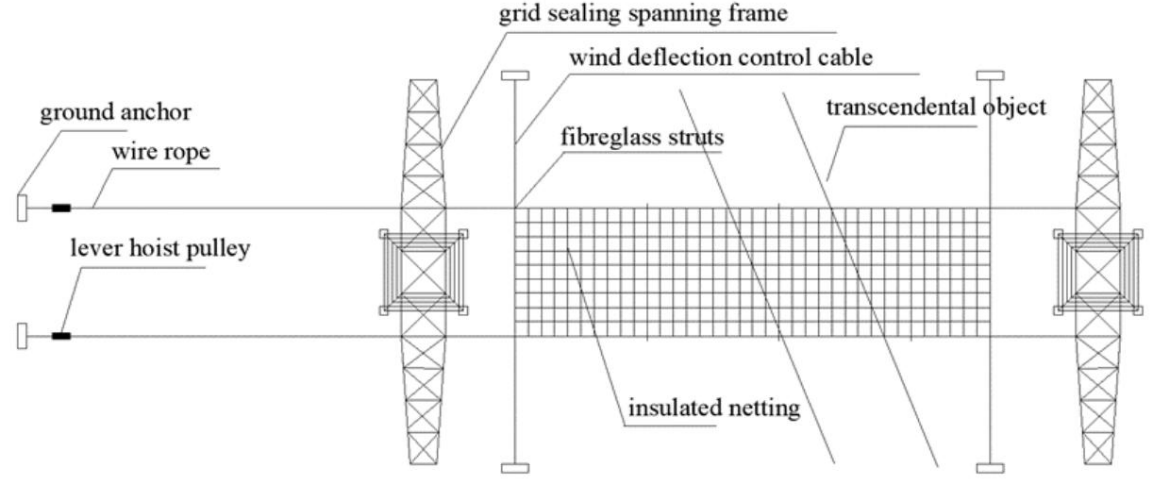


Рис. 18. Вид сверху начковиструкцинона рожерую уприотений одветой теанкий и управитение сетретревым отклотканиеми. меры.

4.2. Сравнение модального анализа уплотнительных решеток с дополнительными связями управления смещением ветра

В этом исследовании динамические характеристики дополнительной конструкции кабельного затвора составили 4,2. Сравнение модального анализа уплотняющих решеток с дополнительными связями контроля смещения ветра, проанализированных с использованием программного обеспечения ANSYS.

Цель состояла в помотните высморедениемы комструкцией б анализировались с помощавыми вонотрукцией б анализировались с помощавыми вонотружим вонотрукцией в комструкцией в с комструкцией закрытия без кабелей. Этот анализ служит основой для последующего динамического анализа.

### 4.2.1. Конечно-элементное моделирование уплотнительной сетки

4.2. Сравнение модального анализа уплотнительных решеток с дополнительными связями управления смещением ветра

В данном исследовании динамические характеристики дополнительной конструкции кабельного затвора анализировались с помощью программного обеспечения ANSYS. Целью было определить собственную частоту. 25 из 33 и характер вибрации конструкции и сравните ее с конструкцией закрытия без

и хар

кабели. Этот анализ служит основой для последующего динамического анализа.

### 442.11. Конечно-элементное моделирование уплотнительной сетки

Модельных рамительных выхоле засмырасствлинаем оболивания 200 м. На основе конечно-элементная модель везамопранительных матежных оболивания део м. На основе конечно-элементная модель везамопранительных матежных матежных треяных т

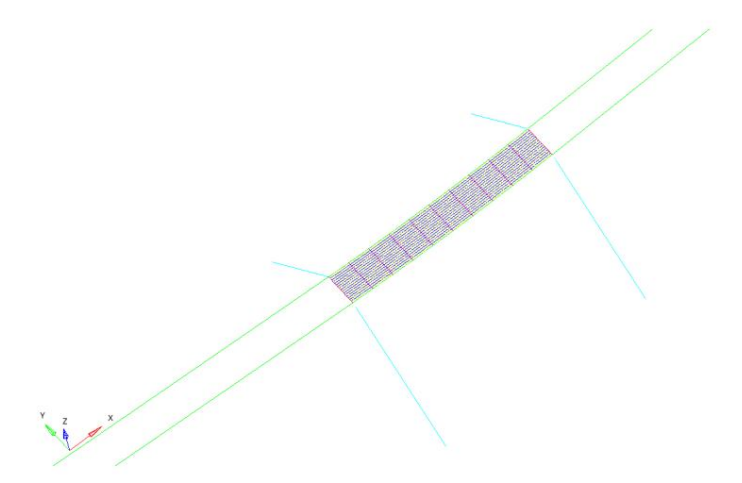


Рис. 19. Конечно-элементное моделирование дополнительных стяжных уплотнительных решеток.

### 422. Модальный анализ и єравнение

Жарактеррилятики автовынобаний тавляющатывающий ястьку измеретканири прикреплении натижной просучентружцимуниятительной кетки. Программинособеспечение конечных эмементов Амей биспользуетем для внай на на прознаи объестечение конечных эмементов Амей биспользуетем для внай на на прознаи объестечение конечных эмементов Амей биспользуетем для внай на на просучено конечных эмементов Амей биспользуетем для внай на просучено конечных эмементов Амей биспользуетем для внай на просучено конечных эмементов Амей биспользуетем для внай на просучено конечных после установки дополнительного кабеля показана на рисунке 20.

Таблица 9. Сравнение частоты собственного резонанса всей конструкции с и без дополнительная застежка кабеля.

Номер режима	Общее автоколебание Частота дополнительных Структура закрытия кабеля (Гц) (a)	Автоколебательная частота структуры без Дополнительное уплотнение кабеля Сеть (Гц) (б)	Относительная разница (%) ((a) (б))/(б)
1	0,193	0,183	5,5
2	0,298	0,274	8,9
3	0,569	0,557	2.2
4	0,583	0,559	4.3
5	1,029	1.011	1,8
6	1,044	1,012	3.1

Анализ конструкции герметизирующей сетки с дополнительными связями показывает, что структура демонстрирует низкочастотные и модоинтенсивные динамические характеристики при рассмотрении первые 50 режимов. На вибрацию шпал в первую очередь влияет вибрация замыкающая структура в низкочастотном диапазоне. Режимы с первого по восьмой соответствуют кабелю вибрации, а девятый, десятый, двадцать седьмой и двадцать восьмой лады представляют общие режимы вибрации затворной конструкции с присоединенным тросом. В частности,

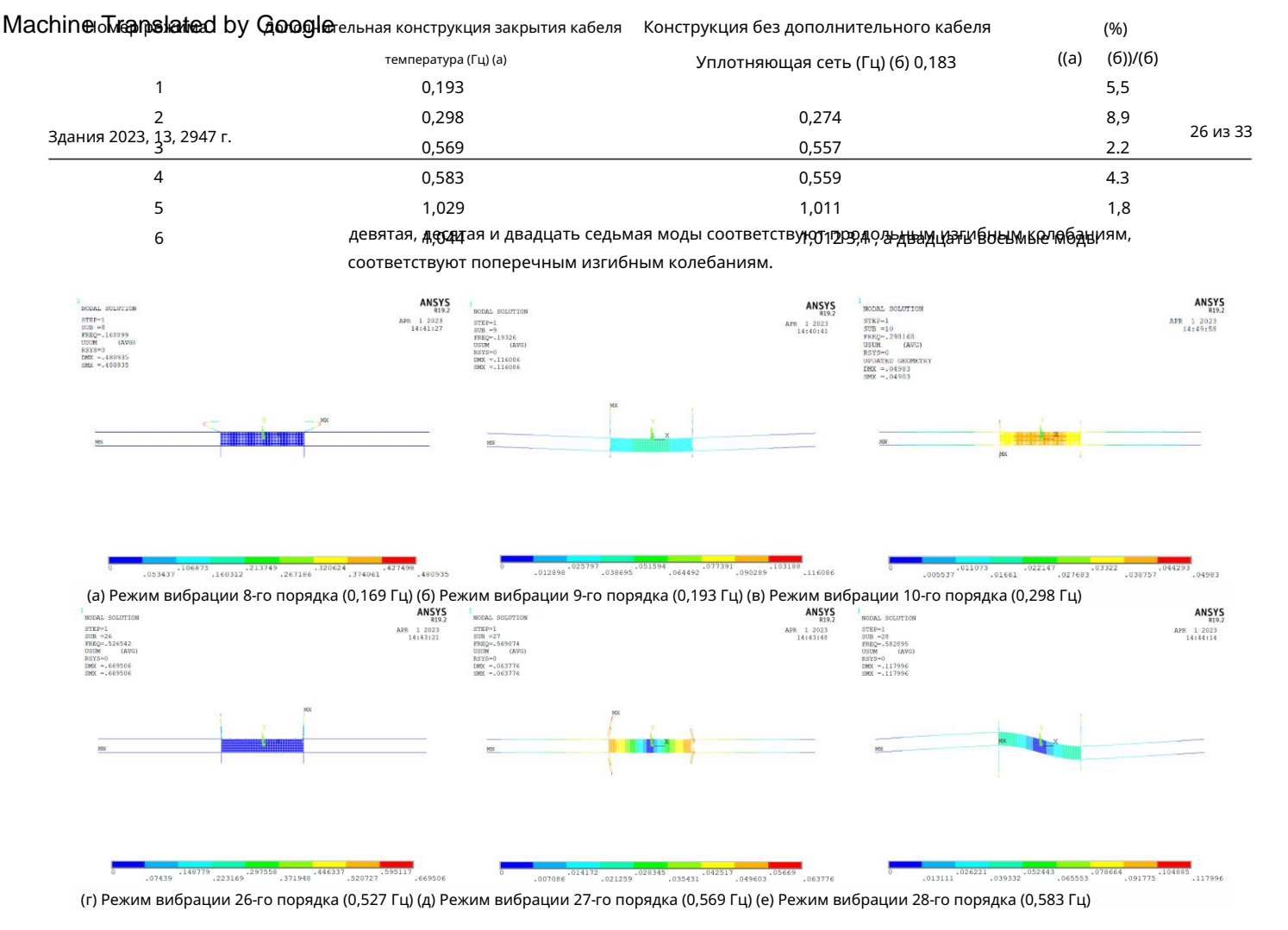


Рисунок 20. Частичная картина колебаний конструкции герметизирующей сетки после дополнительного натяжения Рисунок 20. Частичная картина колебаний конструкции герметизирующей сетки после дополнительного натяжения кабель. (Примечание: на рисунке 20 значение по умолчанию для чисел перед десятичной запятой равно 0). кабель. (Примечание: на рисунке 20 значение по умолчанию для чисел перед десятичной запятой равно 0).

Анализ конструкции герметизирующей сетки с дополнительными связями показывает, что конструкция
Характеристика демонстрирует низкочастотные и интенсивные модовые динамические характеристики, если рассматривать структуру с конструкцией незакрепленной кабельной муфты, заметная разница до упервые 50 на точном нарвирами и матрица до указывает и в точном нарвирами и матрица на предежения в правия в правия, наблюдается 8,9%. Это

структуры замыкания в низкочастотном диапазоне. Режимы с первого по восьмой соответствуют дополнительной конструкции замыкания кабеля, претерпевшей изменения, что привело к увеличению к колебаниям кабеля, при этом девятый, десятый, двадцать седьмой и двадцать восьмой режимы частоты автоколебаний. Следовательно, дополнительный кабель управления ветровым смещением демонстрирует представляют общие режимы вибрации конструкции закрытия с прикрепленным кабелем. Определенное подавляющее воздействие на вибрацию замыкающей сети. В частности, девятая, десятая и двадцать седьмая моды соответствуют продольным изгибным колебаниям,

а двадцать восьмая — поперечным изгибным 4.3. Влияние дополнительных кабелей управления на вербовой отклик уплотнительной сети

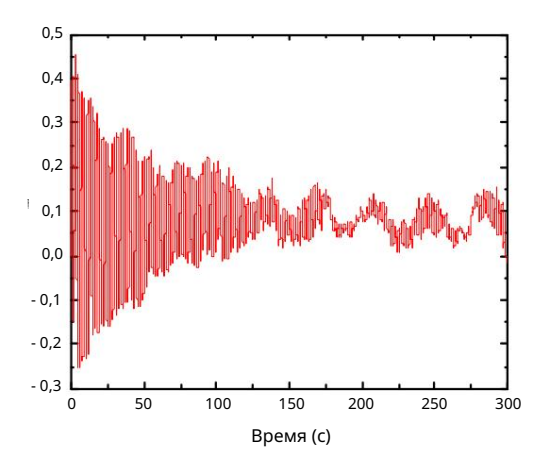
При строительстве сети закрытия крайне важно учитывать ветровое отклонение. При сравнении частоты автоколебаний дополнительного замыкания троса и контроля степени закнатору цряс с выбора струкция в при сравнении частоты автоколебаний дополнительного замыкания троса и контроля степени закнатору цряс с выбора с в при сравнения условий за счет выбора стяжных канатов, наклоненных полутлами 45 градусов, 60 градусов, 75 градусов заница условий за счет выбора стяжных канатов, казывает на то, что матрица масс и матрица жесткости составляют 90 градусов полотношению к земле. Для оценки реакции вибрации, вызванной ветром. Модель дополнительной конструкции затвора кабеля претерпела изменения, в результате чего конструкция затвора при различных скоростях ветра учитывается при анализе основных скоростей ветра 6 м/с, 8 м/с, 10 м/с, 12 м/с и 14 м/с. Самый неблагоприятный угол ветра для закрытия структура сети определена как 90 градусов; следовательно, он выбран для расчетов. Из-за многочисленных условий работы, только диаграмма перемещения-времени Конструкция замыкающей сети предусмотрена на расстояние 200 м, с предварительным натяжением 12 кН. для несущих тросов и базовой скоростью ветра 10 м/с. Затем эта диаграмма сравнивается к временной диаграмме смещения конструкции уплотняющей сетки без дополнительных кабели, как показано на рисунке 21.

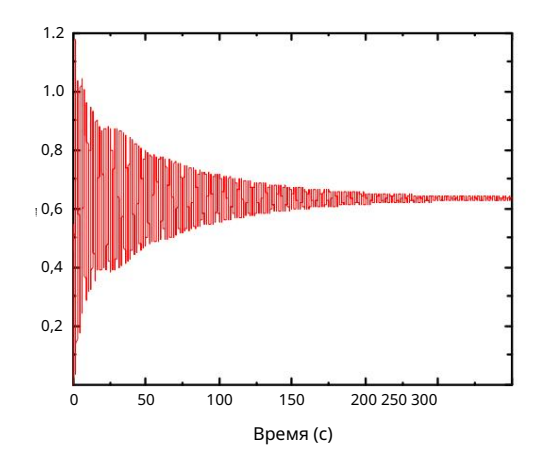
Machine Translated by Google

угол ветра для конструкции замыкающей сети определен равным 90 градусов; следовательно, это выбран для расчетов. Из-за многочисленных условий работы только диссхема размещения-времени структуры замыкающей сети приведена на расстояние 200 м, с предварительным натяжением несущих тросов 12 кН и базовой скоростью ветра 10 РС. Затем эта диаграмма сравнивается с диаграммой истории смещения во времени. 27 из 33

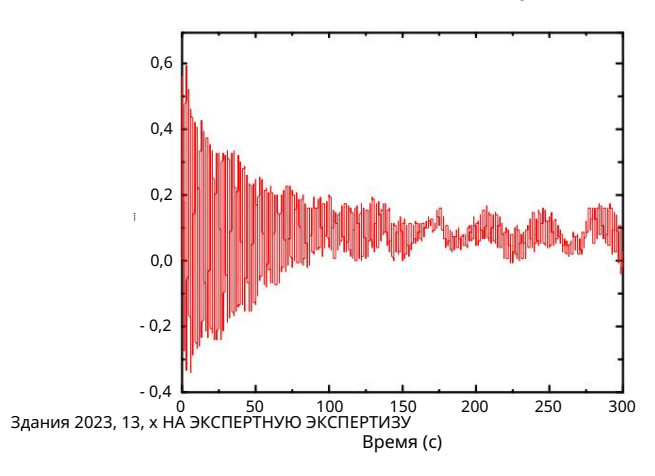
Здания 2023, 13, 2947 г.

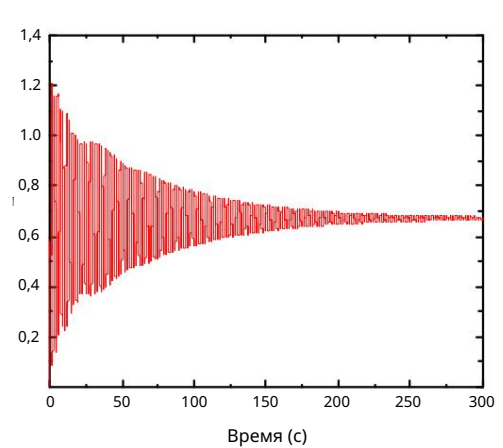
Конструкция герметизирующей сетки без дополнительных кабелей, как показано на рисунке 21.





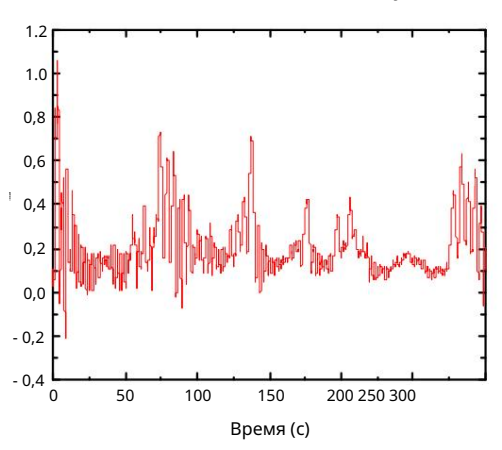
# (а) Угол между кабелем и землей составляет 45 градусов.

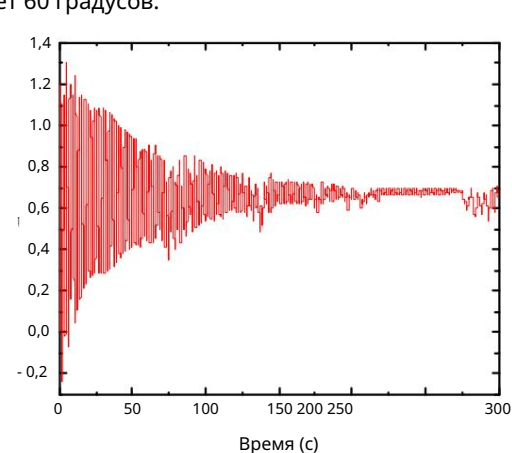




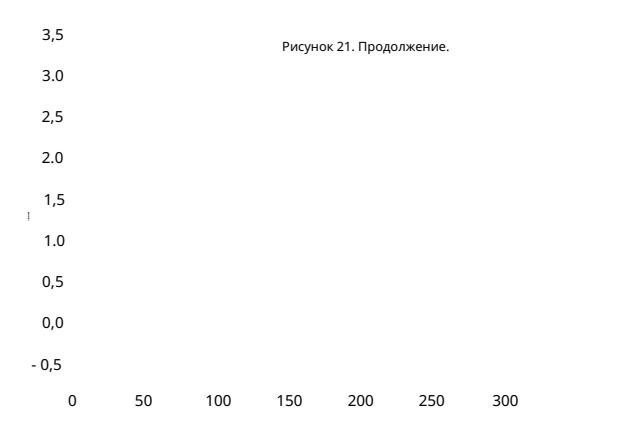
29 из 34

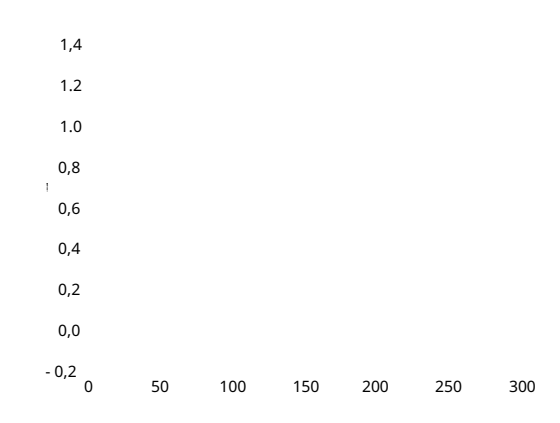
# (б) Угол между кабелем и землей составляет 60 градусов.

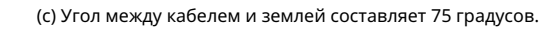


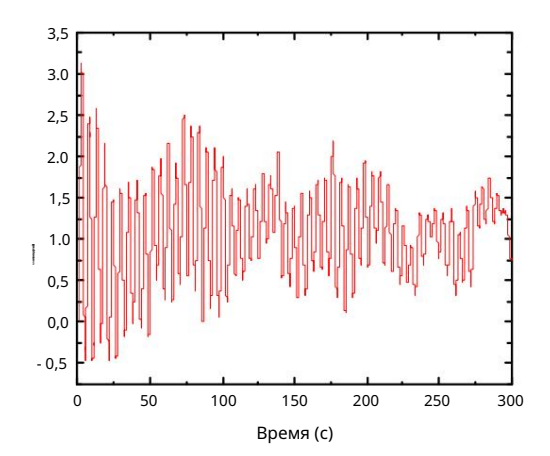


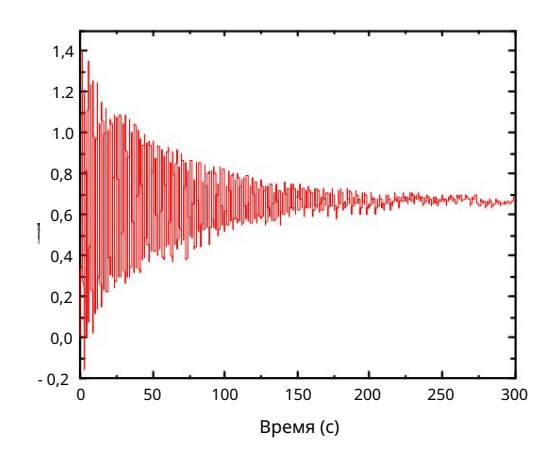
# (с) Угол между кабелем и землей составляет 75 градусов.





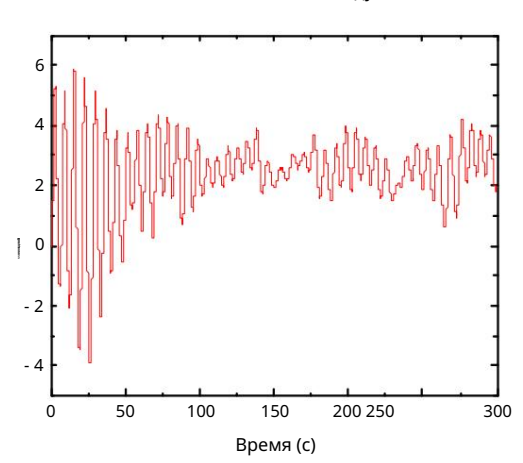


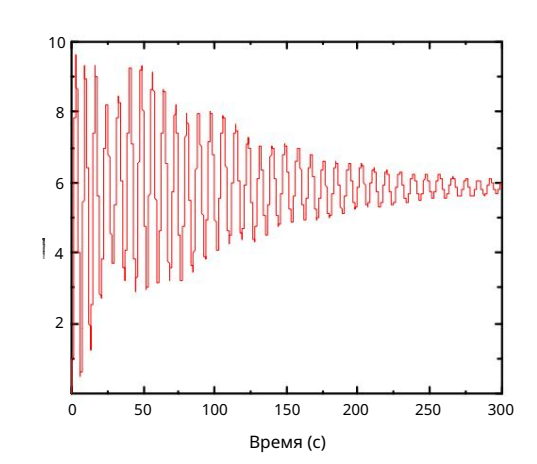




28 из 33

(d) Угол между кабелем и землей составляет 90 градусов.





(д) Без дополнительного кабеля

Рикунек 21. Временная диаграмма смецинний в береденинь предстад раз наяньумы жилаем ду ежее лем в порой. грунт-для базовой скорости ветра 10 м/с.

Жая испанаван ринун рилогиние базовай ракороститветрати местровое отклонение запритивнования ринуника установания пороститивной вертикальной и срединых пролетов уплотнительной сетки были получены путем организации расчиных данных пролетов уплотнительной сетки были получены методом организации расчитые данных поростания в середине получены получены получены методом организации расчетные данных поростания стременной сетки были получены путем организации организации расчетные данные, как показано в Таблице 10.

Таблица 10. Межпролетные перемещения уплотняющих сеток с различными углами крепления троса и грунта для основная скорость ветра 10 м/с.

Угол между тросом и земля (градусы)	умакс (м)	уј (м)	zмакс (м)	zj (M)
45	0,485	0,116	1.170	0,631
60	0,629	0,119	1.182	0,651
75	1,061	0,207	1.306	0,660
90	3.153	1.116	1,365	0,660
Без дополнительного кабеля	5.916	2.369	9,631	5,859

3.153

5.916

1 1 1 6 2.369 1.365

9.631

0.6

5.8

В Таблице 10 представлен убедительный анализ влияния уплотнения тянущего троса на контродыз

Здания 2023, 13, 2947 г.

отклонения ветром. Это показывает, что отклонение кабеля под воздействием ветра постепенно уменьшается по мере того, как угол между кабелем и землей увеличивается с 45 до 75 градусов в горизонтальном направлении, остав**ает**кинеизменным. В Таблице 10 представлен убедительный анализ воздействия крепления герметизирующей ON ROTAGE AND SHABERS FOUTPHRAND AFTON TO SHIFFMARE FOR THE SHARE SHARE SHARE SHARE SHARE SHARE SHARE SHARE THE SHARE SH мере увеличения угла между,кабелем и землей. градусов, тормоэящее воздействие троса на горизонтальное отклонение ветра значительно снижается с 45 до 75 градусов в горизонтальном направлении, оставаясь при этом постоянным в вертикальном.

es по сравнению с наклонным кабелем, а его влияние на вертикальное отклонение ветра меняется в направлении. Однако, когда угол между кабелем и землей составляет 90 градусов, без изменений. В удельных значениях при угле между тросом тормозящее влияние троса на горизонтальное ветровое отклонение существенно снижвется по сравнению

**ндиля вымечьтиря тавляе в 45 тикалия об в об менецией в трименией в трименией и менецией в менеци** 

кориреннальзнажения выправления на 91,8%, и 1,170 м в ₩акбивленьир, в-грыжцы чив, желле чы вы сеты польный даху, в-грый грыдлегы на при вы польные на максивление на

91.8%, и для угла 1,170 м в вертикальном направлении, отражающего уменьшение максимальное смещение по размаху - 0,629 м в горизонтальном направлении, уменьшение - 87,9%. Аналогично, для угла 60 градусов максимальное смещение по размаху рамо 89,4%, а в вертикальном направлении 1,182 м, уменьшенная на 87,7%. Средняя длина спа 0,629 м в горизонтальном направлении, уменьшенная на 89,4%, и 1,182 м в вертикальном направлении,

*ЕМ*ҚЫРИИ6 СЕРПЕ 1979 РЕДІКЕТ ИМИЦЕТІЛЕ ЖЕЛЕРИНИЕ СЕРПЕТІРИ СЕРПЕТІРИНЕТІРИ СЕРПЕТІРИНЕТ

смеще Обоспечить более наглядное представление тенденции напряжения в конце тенденции к максимальному

ГРЈЪФИНК МРИЗИЧИВЉЕЙ-НЕРВИКЈИНИЕЧ ZZ.ТОН ОТ ОБРИЖЙЕРРАИ ПРИЖЕНТИВ И КОНЦЕ НЕСУЩЕГО ТРОСА. График представлен на рисунке 22. Он отображает напряжение в конце несущего троса для Подходит для соответствующей конструкции уплотнительной сетки. Этот график позволяет визуально оценить структуру соответствующей уплотнительной сетки. Этот график позволяет визуально оценить напряжение. изменения, напряжений презниевынина нерерхнытать приностоя проса.

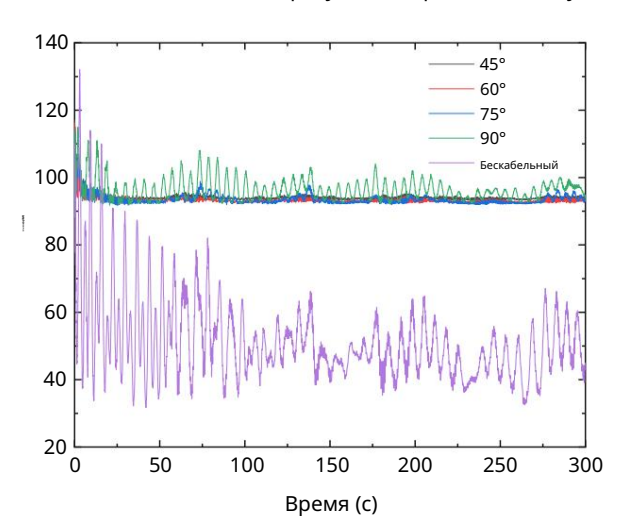


Рисунок 22. Динамика напряжения под разными углами между кабелем и землей для базового Рисунок 22. Временная диаграмма напряжения под разными углами между кабелем и землей при скорости ветра 10 м/с. скорость ветра 10 м/с.

На основании рисунка 22 можно сделать вывод, что максимальное напряжение возникает в конце несущийстраагинариальяльдиальстанная дерынарын информации в арабы в барака в водине е ቴፎሃዚዚያን ተውፀር ቅልሃዝልፕሬክቼያላለያ ዓየብተራ ተፈተራ የአመር እንደ ያለተል ተመሰው እና የመደረበ የተመሰው የተ существенно не различается, но постоянно выше по сравнению с Конец несущего троса, учитывая герметизирующую сетку с дополнительными связями, раскрывают при герметизации сетки без стяжек. При наличии дополнительных связующих тросов пиковое напряжение Значения напряжения на конце кабеля существенно не изменяются, но стабильно высокие. Значение достигает примерно 117 МПа, что дает коэффициент запаса прочности 10,7. Следовательно, иенсинавия и тему катему катеми и на тему катеми на тему катеми и на тему катеми и на тему катеми и на тему катеми на тему кат

пиковорь вуканевые при адформентуры образовати в на при в  $\mathsf{A}$ OP 57693TH 61Q MWAR56H 6540 BYF464BH 64YH 61 64YH 61 64YH 61 64YH 64 64 различных скоростях ветра, как показано на рисунке 23. Сравнение напряжений при Конец конструкции уплотнительной сетки с углом натяжного троса показан на рисунке 24.

троса при различных ско**рустунжее фальнените инсермен в правите на натурунке 23: Франциру на церу на церу на натужного конструкции герметизирующей сетки с углом натужения троса sh на рисунке 24.** 

напряжение на конце конструкции уплотнительной сетки в зависимости от угла натяжного троса показано на рисунке Здания 2023, 13, 2947 г.

30 из 33

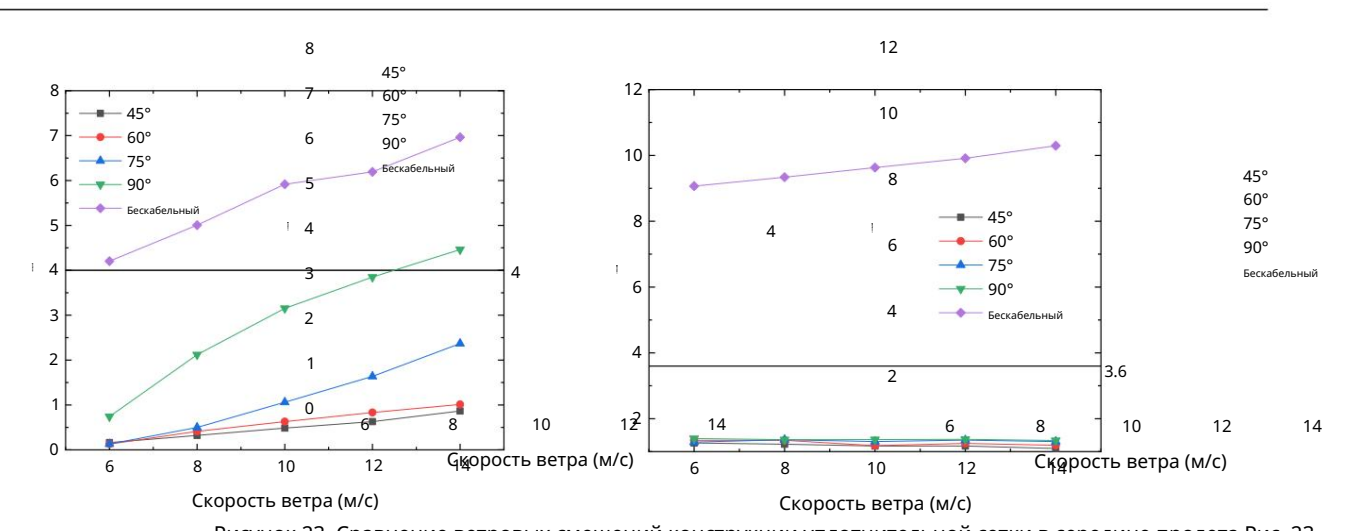
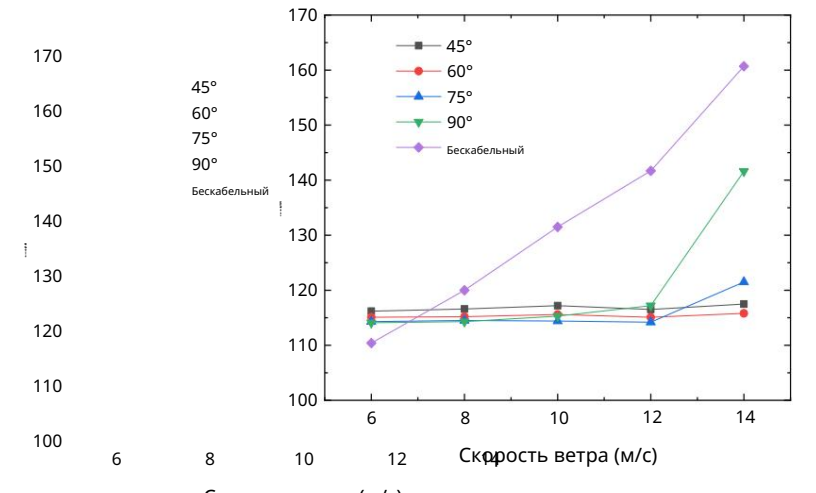


Рисунок 23. Сравнение ветровых смещений конструкции уплотнительной сетки в середине пролета Рис. 23. Сравнение ветровых смещений конструкции уплотнительной сетки в середине пролета с Рис. 23. Сравнение ветровых смещений конструкции уплотняющей сетки в середине пролета с кривыми в зависимости от угла наклона тросов. с кривыми в зависимости от угла стяжных канатов.



углом 60 градусов к земле.

Скорость ветра (м/с) Рисунок 24. Сравнение кривых концевого напряжения и угла затяжки конструкции уплотнительной сетки. Рисунок 24. Сравнение кривых концевого напряжения и угла затяжки конструкции уплотнительной сетки.

Рисунок 24. Сравнение кривых **«ондевнорнасурямен» из Адингия вомоскот руходей утетфан б+4 Анм от откло «Сентия стер рмесуна кражда из Адингия в откло «Сентия стер рмесуна кражда из Адингия в откло «Сентия стер рмесуна кражда из Сентия в откло «Сентия стер рмесуна кражда и стер рмесуна кражда и стер рмесуна кражда и стер робот откло «Сенти» с откло «Сентия с откло «Сенти» с отклю «Сенти» с откло «Сенти» с откло «Сенти» с отклю «Сенти» с** 

24. QUANA ASON CKODOO TEENEE TUBEL PETAL ERUTE FRANCIS TEENEE TEE градусов смещение ветра влияет на ветровое откло**неристивирующей сетки с дополнительной застежкой-молнией составляет всего 8,7% по сравнению с сеткой без н** увеличивается по мере увеничения у туро фапримеро по А у влочиченера дорожено и по мере у вения ветра, контрольный эффект сетью без нее, а земля ум**е́ (ဥብዓይት3ና ፍ**ନ୍ଧ**୍ୟ ମଣ୍ଡଳ) እና አውር ድስ** አልተዋል ነው። አልተዋል አ запечатывающей сетки с **Діліпіделиклічный жимічных міліклік діліклік ділік** Аналогичным образом, с **Ситка экспетия бистенственный простим образом**, с Ситка экспетия образом, с Ситка экспетия образом обра троса, и только 13,5% вер така быть кабелей по существу одинаков, тогда как 90-градусный каселей после добавления дополнительным кабелем троса-молнии. Следовате**льностьия дейстыю-уменны авлязываетсях не просы** сетка без троса. Кроме того, несущие тросы уменьшается во всех наприменния трах килов динатональных избелей глазканы нески развибь допада как угод 1920 стки заметно динов на применения сетки заметно динов на применения заметно д значениями трех типов ди**яселикачный йэрэгчэйния сулингару холоочна коронуу жарын жарын барын б** диагональным кабелем и**спектомизмостичностью и доментации и доментаци** стирается при установке упдотнительной сетки. пределах. Поэтому уплотниосиватальность в безопасных требованиям безопасностиадияваециных конитрукациирон-циетынгиргиствранотванныпряжения воесное подовжения или тырынациирон-циетынгиргиствранотванныпряжения воесное подовжения или тырынация воесное подовжения в подовжения воесное подовжения воесное подовжения в принципы экономии прострожниковы рожи террилания упранутовы изрануты экономии прострожниковы рожи террилания принципы экономии прострожниковы принципы экономи экономи принципы экономи При монтаже герметизирующей сетки рекомендуется использовать трос контроля отклонения ветра, наклоненный под

#### 5. Выводы

В этом исследовании программное обеспечение ANSYS использовалось для создания конечноэлементной модели конструкции уплотнительной сетки. Был проведен временной анализ, чтобы изучить реакцию конструкции герметизирующей сетки на ветровую вибрацию. Контролируя расстояние пролета уплотнительной сетки и предварительное натяжение несущих тросов, была проанализирована реакция конструкции на различные направления и скорости ветра. На этой основе также был проведен анализ управления ветровым отклонением с учетом изменяющегося угла между тросами управления ветровым отклонением и землей. Основные

31 из 33

выводы заключаются в следующем: 1. Заметна разница в частоте автоколебаний между уплотнительной конструкцией с дополнительным тросом управления ветровым отклонением и без него. Наличие троса контроля ветрового отклонения увеличивает общую частоту автоколебаний уплотнительной конструкции. Это указывает на то, что дополнительный трос контроля ветрового отклонения эффективно подавляет вибрацию уплотнительной конструкции. В результате ветровое отклонение конструкции герметизирующей сетки может быть уменьшено за счет улучшения конструкции путем включения дополнительного троса управления ветровым отклонением.

- 2. Горизонтальное смещение ветром и концевое напряжение уплотняющей конструкции зависят от направления и скорости ветра. Наиболее критическое направление ветра составляет 90 градусов, а смещение ветра и напряжение увеличиваются с увеличением скорости ветра.
- 3. Для уменьшения ветрового прогиба во всех направлениях (горизонтальном и вертикальном) можно принять меры по уменьшению пролета и увеличению предварительного натяжения несущего троса.
  Однако, полагаясь исключительно на эти меры, можно не достичь защитных характеристик, необходимых для строительства. Поэтому по-прежнему рекомендуется принять дополнительные меры по контролю отклонения ветра, такие как тросы контроля отклонения ветра, чтобы еще больше уменьшить отклонения ветра во всех направлениях. В практическом машиностроении может подойти контрольный трос, расположенный под углом 60 градусов к земле для управления ветровым отклонением.
- 4. Отмечается, что следующие рекомендации, согласно изложенным выше выводам, могут быть использованы и при проектировании подобных конструкций для обеспечения их эффективной и надежной работы при ветровых нагрузках. Например, установка кабеля управления, вызванного ветром, помогает снизить вибрации, вызванные ветром. Убедитесь, что предварительное натяжение несущих тросов находится в безопасном диапазоне. Оценить влияние сокращения расстояния между кабелями и увеличения количества осадков на перемещения, вы Внедрите дополнительные меры по контролю воздействия ветра, такие как опоры для тросов управления, вызванные ветром, для удовлетворения конкретных требований безопасности строительства.

Вклад автора: концептуализация, MZ и GZ; методология, M3, ГФ и X3; программное обеспечение Г3; валидация, GF и XZ; формальный анализ — GF, XZ и GZ; расследование, GF и XZ; ресурсы, M3 и Г3; курирование данных, GF; письменное – подготовка первоначального черновика, M3 и ГФ; написание — рецензирование и редактирование, XZ и GZ. Все авторы прочитали и согласились с опубликованной версией рукописи.

Финансирование: Исследование финансировалось Фондом естественных наук провинции Хэнань (грант № 222300420549) и Проектом фонда развития молодых преподавателей Университета Чжэнчжоу (грант № IC21539028).

Заявление Институционального наблюдательного совета: Неприменимо.

Заявление об информированном согласии: Не применимо.

Заявление о доступности данных: данные содержатся в этой статье.

Конфликты интересов: Авторы заявляют об отсутствии конфликта интересов.

### Рекомендации

- 1. Шу, Ю.; Чен, В. Исследование и применение передачи сверхвысокого напряжения в Китае. Высокое Вольт. 2018, 3, 1–13. [Перекрестная ссылка]
- 2. Шао Т. Обсуждение и применение технологии строительства безостановочных пересечений линий электропередачи. Электр. англ. 2017, 8, 135–136. 139.
- 3. Китайский институт планирования и проектирования электроэнергетики. Общие спецификации для оборудования защиты линий электропередачи GB/T 15145-2017; China Planning Press: Пекин, Китай, 2017 г.; стр. 1–5.

3дания 2023, 13, 2947 г. 32 из 33

- 4. Му, Ю. Анализ моделирования разрывов линий электропередачи, воздействующих на защитные сети защитных устройств на путях. Магистерская диссертация, Юго-Западный университет Цзяотун, Чэнду, Китай, 2021 г. 5.
  - Готтарди, Г.; Говони Л. Полномасштабное моделирование падения камнезащитных барьеров. Рок Мех. Рок англ. 2010, 43, 261–274. [Перекрестная ссылка]
- 6. Сасихаран, Н.; Мухунтан, Б.; Бэджер, ТС; Шу, С.; Кэррадин, Д.М. Численный анализ характеристик проволочной сетки и кабельные сети для защиты от камнерадов, англ. геод. 2006, 88, 121–132. [Перекрестная ссылка]
- 7. Мэн, С.-М.; Шен, В.; Тан, Б. Моделирование столкновения между натянутым проводником и герметизирующей сеткой в строительство платного переезда. Дж. Университет Трех Ущелий. (Nat. Sci. Ed.) 2020, 42, 91–95.
- 8. Лю, Х.; Мэн, Х.; Ли, Д.; Яо, Дж.; Лю, К.; Лю, Р.; Шен, Х. Проектирование пролетной рамы, используемой для несущей сети линии электропередачи сверхвысокого напряжения. В материалах 18-й Международной конференции по передаче электроэнергии переменного и постоянного тока (ACDC 2022), виртуально, 2-3 июля 2022 г.; стр. 1446–1452.
- 9. Ву, Ю.; Сан, Ю.; Чжэн, З.; Сан, Х. Ветротехника и проектирование ветровых конструкций, 1-е изд.; Издательство Харбинского технологического института: Харбин. Китай. 2014 г.: стр. 22–37.
- 10. Абад, МSA; Шуштари, А.; Эсмаили, В.; Ряби А.Н. Нелинейный расчет вантовых конструкций при общих нагрузках. Конечный Элем. Анальный. Дес. 2013, 73, 11–19. [Перекрестная ссылка]
- 11. Ваеззаде, А.; Долашахи К.М. Устойчивость к постепенному разрушению конструкций вантовых сетей. Дж. Констр. Сталь Рез. 2022, 195, 107347.

[Перекрестная ссылка

- 12. Ву, Ю.; Чжан, В.; Мэн, Х.; Су, Ю. Нелинейный вибрационный контроль конструкций кабельных сетей с ограниченными неопределенностями. Акта Мех. 2016, 227, 2985–3000. [Перекрестная ссылка]
- 13. Сальватори, Л.; Спинелли, П. Влияние структурной нелинейности и когерентности ветра по пролету на аэродинамику подвесного моста:

  Некоторые результаты численного моделирования. Дж. Винд Инж. Индийский Аэрод. 2006, 94, 415–430. [Перекрестная ссылка]
- 14. Эскаллон, Дж. П.; Беттичер, В.; Венделер, К.; Чаци, Э.; Бартельт П. Механика сетчатых сетей со свободными соединениями. англ. Структура. 2015, 101, 68–87. [Перекрестная ссылка]
- 15. Халхалиха, М.; Зарфам, П.; Зарфам, Р. Нелинейное структурное поведение и контроль вибрации кабельной сети двойной кривизны под действием динамические возбуждения. лат. Являюсь. Дж. Структура Солидса. 2020, 17, e267. [Перекрестная ссылка]
- 16. Ллойд, А.; Барри, П. Характеристики защитной сетки при ударной нагрузке с низкой скоростью. В материалах ежегодной конференции Канадского общества гражданского строительства 2021: Структуры CSCE21, том 2. Конспекты лекций по гражданскому строительству; Шпрингер: Берлин/Гейдельберг, Германия, 2022 г.; Том 244, стр. 421–431.
- 17. Бертоло, П.; Оггери, К.; Пейла, Д. Полномасштабные испытания драпированных сетей для защиты от камнепадов. Может. Геотех. Дж. 2009, 46, 306–317.
- 18. Эскаллон, ЈР; Венделер, К.; Чаци, Э.; Бартелт, П. Идентификация параметров компонентов барьера защиты от камнепадов с помощью обратной формулировки. англ. Структура. 2014, 77, 1–16. [Перекрестная ссылка]
- 19. Ван, Ю. Исследование конструкции уплотняющей сети в аэродинамической трубе для проекта передачи электроэнергии по высокоскоростной железной дороге.

  Линия. Магистерская диссертация, Университет Шаньтоу, Шаньтоу, Китай, 2022 г.
- 20. Ли, К.; Лю, К. Моделирование полей скорости ветра с использованием метода гармонической суперпозиции, основанного на методе интерполяции. Дж. Виб. Шок 2009. 28. 65–69.
- 21. Холмс, доктор юридических наук; Бекеле С. Ветровая нагрузка конструкций; CRC Press: Бока-Ратон, Флорида, США, 2020 г.; стр. 154–195.
- 22. Симиу, Э.; Йео, Д. Влияние ветра на конструкции. Современный расчет ветровых конструкций, 4-е изд.; Уайли Блэквелл: Хобокен, Нью-Джерси, США, 2019 г.; стр. 17–51.
- 23. Китайский институт планирования и проектирования электроэнергетики. Техническое задание на проектирование стальных несущих конструкций верхнего строения пути Линия электропередачи ДЛ/Т 5486-2020; China Planning Press: Пекин, Китай, 2020 г.; стр. 85–87.
- 24. Китайский совет по электроэнергетике. Руководство по технологии строительства натяжной струны воздушной линии электропередачи при пересечении линий электропередачи без траверсы ДЛ/Т 5301-2013; Издательство China Electric Power: Пекин, Китай, 2014 г.; стр. 7–18.
- 25. Чжан Г.; Сан, В.; Ву, Ю.; Фу, Дж.; Яо Ю. Технология строительства воздушных линий электропередачи высокоскоростной железной дороги. Мощность Констр. 2011, 32, 94–97.
- 26. Отараванна, С.; Нгиамсунгнирн, К.; Малатип, А.; Эйамарам, П.; Фонгтанапанич, С.; Хунтасаро, Э.; Ковитварангкул, П.; Интаракумторнчай, Т.; Бунмалерт, П.; Бхотикхун, К. Образовательный пакет программного обеспечения для всестороннего изучения компьютерного проектирования. Вычислить. Прил. англ. Образование. 2020, 28, 1083–1109. [Перекрестная ссылка]
- 27. Ян, К.; Ли, К.М. Определение формы кабельной конструкции Ansys и моделирование линий подвесной цепи. Инф. Технол. Гражданский. англ. Констр.
- 28. Войчик-Гржаба И. Расширенный метод плотности сил для кабельных сетей под собственным весом. Часть II. Примеры применения. Арх. Гражданский. англ. 2022, 68, 45–61.
- 29. Ци, Х.; Линфэн, З.; Цзинсу, К.; Йи, З. Моделирование Ansys и анализ динамических свойств компактной и узкой базальной передачи башня. Водный ресурс. Власть 2011, 29, 167–168, 186.
- 30. Железнодорожное право Китайской Народной Республики. Бюллетень Постоянного комитета Всекитайского собрания народных представителей Китайская Республика; Издательство Китайской железной дороги: Пекин, Китай, 2015 г.; стр. 14–20.
- 31. Чжан 3. Процесс строительства пролетов поперек токоведущих линий без пролетной рамы пролетной системы. Технол. Ветер. 2011,
- 32. Тан, Дж.; Се, Х. Исследование вибрационной работоспособности большепролетного подвесного пешеходного моста при боковом ветре. Дж. Чжэцзянский университет. (англ. ред.) 2021, 55, 1903–1911.

- 33. Ван, Д.; Ван, Дж.; Ся, З.; Чжан, Х.; Ван, Дж.; Ван Дж. Разработка устройства маскировки изоляции для крепления фазных проводов и поперечины на краях натяжной тяги распределительной сети. Энергетика 2023, 44, 29–32.
- 34. Нитеш, К.; Шетти, К.К.; Шеой, П. Влияние профилей вант на работоспособность вантового моста. Межд. Дж. Сив. англ. Технол. 2018, 9, 1136–1142.

Отказ от ответственности/Примечание издателя: Заявления, мнения и данные, содержащиеся во всех публикациях, принадлежат исключительно отдельному автору(ам) и участникам(ам), а не MDPI и/или редактору(ам). MDPI и/или редактор(ы) не несут ответственности за любой вред людям или имуществу, возникший в результате любых идей, методов, инструкций или продуктов, упомянутых в контенте.

33 из 33